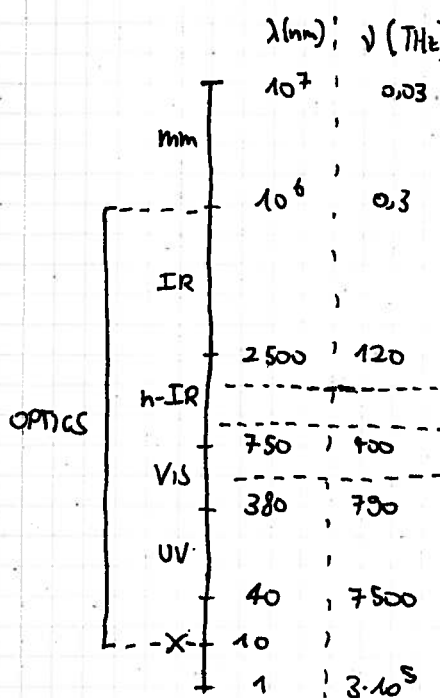


Misure Ottiche

RESI POSSIBILI DA SORGENTI DI LUCE LASER (1960, Theodore Maiman, DATI STUDI RUSSI SUL MAIER)



CARATTERISTICHE:

- MONOCHROMATICA ($\Delta\lambda \sim 10^{-6} \div 10^{-9}$ nm)
- COERENZA SPATIALE E COERENZA TEMPORALE
- DIREZIONALITÀ
- BRILLIANZA (DENSITÀ DI ENERGIA)
- DURATA (DURATA DELLA COERENZA TEMPORALE)
- SINGOLA POLARIZZAZIONE

NB: PUNTER VERDE @ 3mW È PIÙ ORILLANTE DEL SOLE!

microscopio

NS: O CONCENTRATO
ENERGIA IN AT
(IMPULSI GREEN) O
IN AP (RIGA STRETTA,
SINGOLA MODUS)

→ 1,5 μm / 200 THz: DIOXO LASER (FINESTRA TRASMISSIONE FIBRA OTTICA)

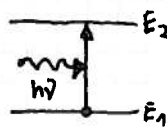
→ 1 μm / 300 THz: Nd: YAG

→ 500 nm / 600 THz: LUCE VERDE, ALCO DI ASSORBIENZA OCULARE
URANO (CENTRO DELLO SPECTRO VISIBILE)

INTERAZIONI RADIAZIONE-MATERIA:

INTERAZIONE DELLA LUCE CON ATOMI ECCITATI: BISOGNA OBTENERE L'INVERSIONE DI POPOLAZIONE (CONDIZIONE DI NON EQUILIBRIO)

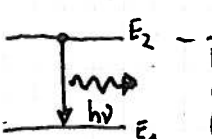
ASSORBIMENTO:
(ATTENUAZIONE)



$$h\nu = E_2 - E_1 \Rightarrow \lambda = \frac{hc}{E_2 - E_1}$$

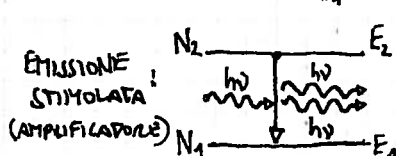
(ANCHE PER LE SUCCESSIVE)
(PROCESSO STATISTICO CHE HA UNA CERTA PROBABILITÀ DI AVVENIRE)
PROCESSO CHE AVVIENE IN UN TEMPO CARATTERISTICO T_{sp} NON NULLO
(È L'EMISSIONE "NATURALE" DELLE SORGENTI LUMINOSI STANDARD)

EMISSIONE:
SPONTANEA
(GENETTORE)



IL SECONDO FOTONE È COERENTE CON IL FOTONE INCIDENTE

EMISSIONE:
STIMOLATA
(AMPLIFICAZIONE)



→ DEVE ESSERE $\Delta N = N_2 - N_1 > 0$. NB: SE $N_2 = N_1$ IL MATERIALE È TRASPARENTE ALLE V (L) CONSIDERATE
IL NECESSARIO DOVE AVVIENE L'INVERSIONE DI POPOLAZIONE È IL MATERIALE ATTIVO

LASER: MATERIALE ATTIVO + MECCANISMO DI POMPA + RISONATORE OTTICO

AMPLIFICAZIONE OTTICO (AZIONE LASER)

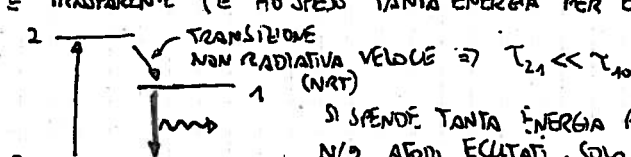
OSCILLAZIONE

NB: NON SI PUÒ OBTENERE L'INVERSIONE DI POPOLAZIONE IN UN SISTEMA ATOMICO A DUE LIVELLI!

SE $N_1 = N_2$ I FOTONI DI POMPA HANNO UGUALE PROBABILITÀ DI GENERARE ASSORBIMENTO O EMISSIONE STIMOLATA... IL NECESSARIO È TRASPARENTE (E HO SPESA TANTA ENERGIA PER ECLIPARE RETTA DELLA POPOLAZIONE ATOMICA)

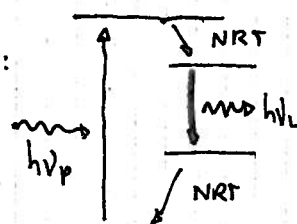
SISTEMA A 3 LIVELLI:

+ EFFICIENZA



SI SPENDE TANTA ENERGIA PER PRODURRE I PRIMI N/2 ATOMI ECCITATI, SOLO DOPO SI È IN INVERSIONE

SISTEMA A 4 LIVELLI:

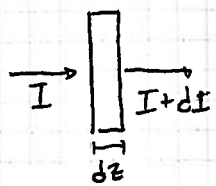


OMAMENTE $h\nu_p > h\nu_L$, LA DIFFERENZA DI ENERGIA VIENE PERSA NELLE TRANSIZIONI NON RADIATIVE.

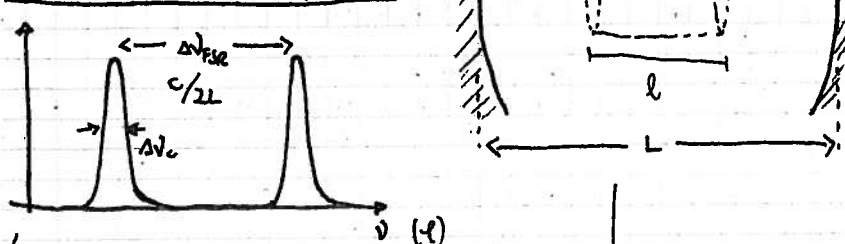
- TIPI DI DOPOPIATTIGLIO:**
- A SCARICA ELETTRICA: N.A. GASOSI, ECITAZIONE PER COLLISIONE
 - OTTICO: N.A. SOLIDI O LIQUIDI, ECITAZIONE DIRETTA
 - ELETTRICO: N.A. SEMICONDUTTORI, SI PORTANO GLI E⁺ IN BANDA DI CONDUZIONE

GUADAGNO NEL MATERIALE ATTIVO: $\frac{dI}{dz} = G(N_2 - N_1)I$, G = CROSS SECTION DI EMISSIONE STIMOLATA

$$G \cdot I = I_0 e^{G(N_2 - N_1)z}$$



RISONATORI DI TIPO FABRY-PEROT :



$$F = \frac{\Delta\nu_{\text{FSR}}}{\Delta\nu_c} \quad \text{è la FINESSE DEL RISONATORE.}$$

IL RETTO DI VITA DEL FOTONE IN CAVO È $T_c = \frac{L}{c\gamma}$. DAL QUALE SI RICAVA LA LARGHEZZA DELLA RIGA DI EMISSIONE:

$$\Delta\nu_c = \frac{1}{2\pi T_c} = \frac{c\gamma}{2\pi L}$$

$$F = \frac{\pi(R_1 \cdot R_2)^{1/4}}{1 - (R_1 \cdot R_2)^{1/2}} = \frac{\pi}{1-R} \quad (\text{SE I DUE SPECCHI SONO UGUALI})$$

N.B.: DALLE MISURE DI FINESSE (PRECISE) PERCHÉ MISURE DI FREQUENZE SI PUÒ RIVOLGERE ALLE RIFLETTIVITÀ DEGLI SPECCHI (CHE SE SONO TUTTO PIÙ ALTE A 1 SONO DIFFICILMENTE MISURABILI IN QUANTI PROPORZIONI DI POTENZA)

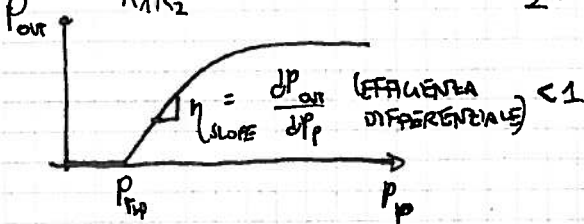
IL FATTORI DI QUALITÀ DEL RISONATORE È DATO DA: $Q = \frac{\nu}{\Delta\nu_c} = \frac{\nu}{\Delta\nu_{\text{FSR}}} = m \cdot F$ OMAMENTE SI È IN RISONANZA QUANDO $\varphi = h \cdot 2\pi$.

IL PROFILLO DI TRASMISSIONE DI UN FABRY-PEROT È DATO DA UNA FUNZIONE DI AIRY: $T(\ell) = \frac{(1-R)^2}{1+R^2-2R\cos\ell}$ (PER $R \approx 1$, I MINIMI DEL COSENZO SONO $T \approx 0$ E I MASSIMI $T \approx 1$) $\ell = 2\pi \cdot \frac{2L}{\lambda}$ È LO SFALCIMENTO DENTRO AL DOPPIO PASSAGGIO NELL'RISONATORE

IL GUADAGNO PER SINGOLO PASSAGGIO È DATO DA $G = \frac{I(l)}{I(0)} = e^{G(N_2 - N_1)l}$. IL BILANCIO SUL ROUND TRIP DEL RISONATORE A JUGGLA È:

$$R_1 G \cdot R_2 G \cdot I_0 = I_0 \quad (\text{LE PERDITE DEVONO EGUALARE L'AMPLIFICAZIONE PER AVERE AZIONE LASER})$$

$$G^2 = \frac{1}{R_1 R_2} \Rightarrow G(N_2 - N_1)l = \frac{1}{2} [\ln R_1 + \ln R_2] \quad \text{DEFINIZIONE LE PERDITE LOGARITMICHE IN CAVO COME}$$

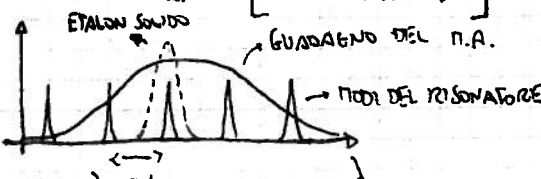


$$\gamma = \frac{\theta_1 + \theta_2}{2} = -\frac{\ln R_1}{2} - \frac{\ln R_2}{2}$$

TRAVERSALE (PRIMO LASER), INVERTITO TUTTO IL MATERIALE (SHEEET PUMPING). MA NON SERVIRE SE L'AZIONE LASER SI CONCENTRA INFORM ALL'ANNE DEL RISONATORE (INGRADIODE).

LS: IL TEMPO DI ROUND TRIP DEL RISONATORE CON ALL'INTERNO IL MATERIALE ATTIVO È MAGGIORRE CHE NEL CASO DEL RISONATORE Vuoto (PERCHÉ I FOTONI ATTRARREBBERO IL N.A. CON $n > 1$)

La LUNGHEZZA EFFETTIVA DEL RISONATORE È $AL_{\text{RT}} = 2 \left[L + (n_{\text{YAG}} - 1)l \right]$, IN MESES CASO $n_{\text{YAG}} \approx 1,8$



SELEZIONE RISI LONGITUDINALI:

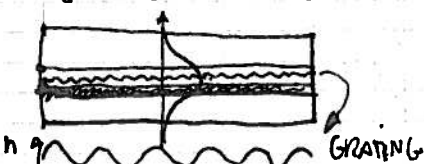
POTRANNO OSCILLARE TUTTI I RISI DEL RISONATORE CON ABBASTANZA GUADAGNO

CHE AVERE LASER A SINGOLO RISI?

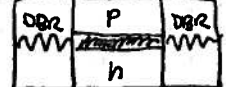
- FILTRO PASSA BANDA (IN ETALON SOLIDO) IN CAVO: CHE TAGLIA TUTTI I RISI DEL RISONATORE SALVO IL MASSIMO DI GUADAGNO TRONCA UNO

E' IN SEMICONDUTTORE (NON C'È LA "CAVITÀ")?

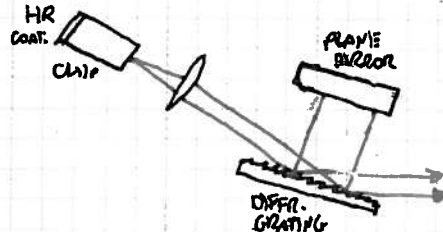
- DISTRIBUITO FEEDBACK (DFB): IN TUTTA LA CAVO C'È UN INDICE DI RIFRAZIONE VARIAZIONE (DIFFRACTION GRATING)



- DISTRIBUITO BRAGG REFLECTOR (DBR) (SPECCHI AD ALTA RIFLETTIVITÀ FATTI CON MODULAZIONE PERIODICA DELL'INDICE DI RIFRAZIONE)



ALTERNATIVE ALLA STRUTTURA TRADIZIONALE:



VICSEL (VERTICAL CAVITY SURFACE EMITTING LASER)

- LASER A CAVITÀ ESPESA (ECLD): "PROLUNGO" IL RISONATORE IN ARIA CON UN RIENCILO DI DIFFRAZIONE E UNO SPECCHIO PIANO

LASER A ER IN FIBRA

NS: SI PUÒ REALIZZARE UNA CELLA DI PULSANTI
A CRISTALLI LIQUIDI MA È PIÙ LENTA DI
QUELLI IN CRISTALLO

DIFICILE PIANTARE AD HF
LA CELLA DI PULSANTI
 $< 1 \text{ kHz}$

- CREAZIONE DI IMPULSI GIANTI (ALTA POTENZA) \Rightarrow Q-SWITCHING
G NAMENENDO UN BASSO FATTORE DI QUALITÀ DELLA CAVITÀ POSSIAMO OTTENERE UN'INVERSIONE DI POPOLAZIONE MOLTO PIÙ VIGORE DELL'INVERSIONE DI SOTGLIA

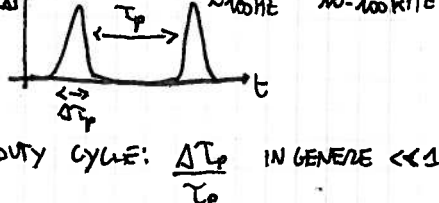
T_p (INTERVALLO TRA GLI IMPULSI): DIPENDE DALLA VELOCITÀ DI SWITCHING DEL FATTORE DI QUALITÀ

ΔT_p (DURATA DEGLI IMPULSI): DIPENDE DAL MATERIALE ATTIVO (TEMPO DI MUODIMENTO DEL VILL)

ELETTRICO-OTTICO (PULSANTS CELL)

AUDIO-OTTICO (PIEZOELETTRICO)

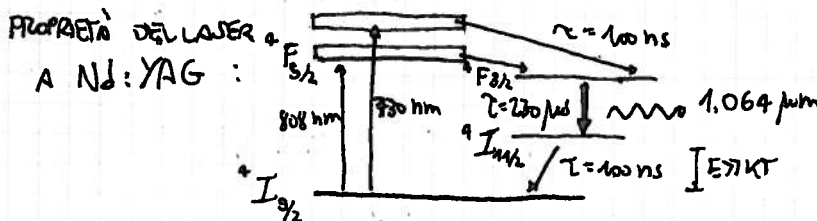
SPECCHIO ROTANTE



$$\Rightarrow \text{DUTY CYCLE: } \frac{\Delta T_p}{T_p} \text{ IN GENERE } \ll 1$$

- CREAZIONE DI IMPULSI ULTRACORTI \Rightarrow DODE LOCKING: FACCO UN LASER CON UNA BANDA DI GUARDIANO MOLTO LARGA IN RODO CHE OSCILLANO N TORDI IN CAVITÀ. SE QUESTI VENGONO ALZATI IN FASE (COME LE loro FASI SONO RESE DIPENDENTI) SI GENERANO IMPULSI DI DURATA

$$\Delta T_p = \frac{1}{N \Delta V_{\text{FSR}}}$$



BANDA DI GUARDIANO:

$$\Delta V = 12.5 \text{ GHz} (\sim 0.4 \text{ nm}) \quad [90x \text{ INVERSO}]$$

$$\text{NS: } \frac{\Delta V}{V} = - \frac{\Delta \lambda}{\lambda}$$

NS: ESISTE ANCHE UNA POSSIBILE TRANSIZIONE LASER ${}^2F_{3/2} \rightarrow {}^2I_{3/2}$ (GROUND STATE) [NECCANSITO A 3 LIVELLI]

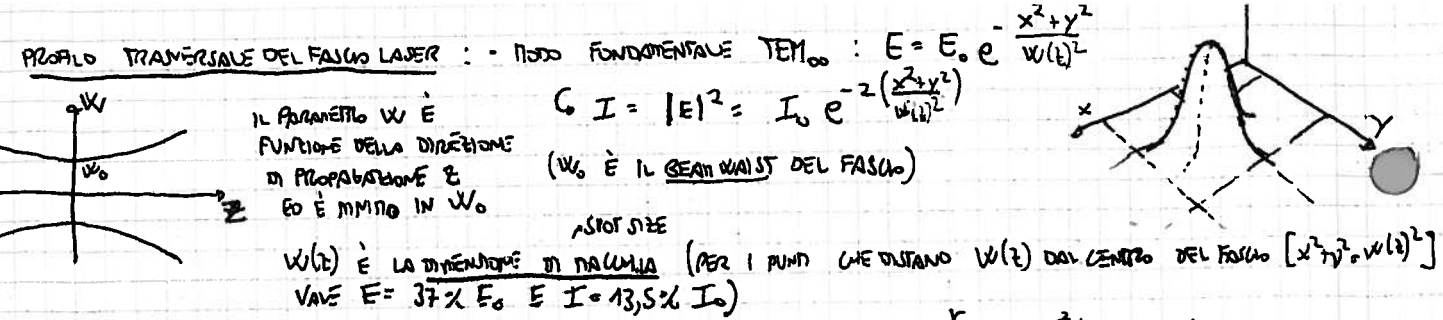
POTENZE: 200 W (CW) $\eta = 1-10\%$ (33 MAX PULSED)
10 MW (PEAK)

$$\lambda = 946 \text{ nm}$$

- ND: YAG 2X: LASER VERDE $\text{I}_{\text{max}} = \frac{1064}{2} = 532 \text{ nm}$ A STATO SOLIDO CON DOPPLAMENTO DI FREQUENZA (TRONTE PHASE MATCHING)

NS: I LASER A SECONDA FORZA HANNO ALTA EFFICIENZA ($\sim 50\%$) DATO CHE SI PONPANO DIRETTAMENTE

- ALTRI PROPRIETÀ / CARATTERISTICHE DELLA LUCE LASER:
 - BRILLIANZA: $B = \frac{P}{A \cdot \lambda^2}$ · DIMENSIONI ($1 \mu\text{m} \rightarrow 1 \text{ km}$)
 - STABILITÀ IN AMPIETTA ($\frac{\Delta P}{P} \sim 10^{-5}$) E FREQUENZA ($\frac{\Delta V}{V} \sim 10^{-15}$) · PROPAGAZIONE! SPARCO LIBERO / FIBRE OTICHE
 - IMPULSI ULTRACORTI ($\sim 10^{-15} \text{ s}$) E ELEVATA POTENZA DI PIZZO ($\sim 10^{15} \text{ W}$)
 - QUALITÀ SPAZIALE (COERENZA SPAZIALE) E SPETTRALE (COERENZA FENOMENALE) DEL FAISCEO ELEVATE



POTENZA RACCOLTA SU UN CERCHIO DI AREA $S = \pi r^2$: $P(S) = P(r) = \int I dS = \int_0^r I_0 e^{-2\theta^2/w_0^2} \cdot 2\pi r \theta dr =$

$$= \frac{1}{2} \pi w_0^2 I_0 \cdot \int_0^{r/w_0} e^{-2\theta^2} d\theta = P_0 \cdot \left(1 - e^{-2 \cdot \frac{r^2}{w_0^2}}\right)$$

DENTRO UN CERCHIO DI RAGGIO w_0 , CADE L'86,5% DELLA POTENZA
TOTALE P_0 CONTENUTA NEL FASCIO (LA DENSITÀ DI POTENZA SARÀ
COSTANTEMENTE MAGGIORA IN $w(z) = w_0$, COSTANTI IN AVVOLGO (AD))

NODO DI ORDINE SUPERIORE: TEM₁₁: $E = E_0 H_1 \left(\frac{\sqrt{2}x}{w(z)}\right) H_1 \left(\frac{\sqrt{2}y}{w(z)}\right) e^{-\frac{x^2+y^2}{w(z)^2}}$ (NODI DI GAUSS-HERMITE)

L'ORDINE DI ROTONDI DI HERMITE CI DICE QUANTI ZERI TAGLIANO LA GAUSSIANA SU UN DATO ALLE

IL NODO TEM₀₀ SI DICE DIFFRACTION LIMITED PERCHÉ È QUELLO A DIVERGENZA MINIMA. PER QUESTO NODO POSSIAMO STUDIARE $w(z)$:

COM'È L'ANDAMENTO DI $w(z)$? $[w(z)]^2 = w_0^2 + \left(\frac{\lambda z}{\pi w_0}\right)^2$ DEFINIMMO $Z_R = \pi w_0^2 / \lambda$ DISTANZA DI RAYLEIGH
(POSSIAMO PENSARE: $[w(z)]^2 = w_0^2 + \left(\frac{z}{Z_R}\right)^2$, COSÌ $w(z) = w_0 \sqrt{1 + \left(\frac{z}{Z_R}\right)^2}$)

NB: PIÙ GRANDE È Z_R , PIÙ IL FASCIO È CONFINATO (PER $z < Z_R$ $w(z)$ SCOSTA POCO DA w_0)
 $\lambda = 1 \mu m$ UN FASCIO LARGO $2w_0 = 2 \mu m$ HA $Z_R = 3 \mu m$! SE INGRANCIOSCO IL FASCIO
LASER LO FASCIO CON UN RANGE DI RAYLEIGH NONO LUNGHE!

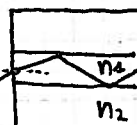
G IN CAMPO LONTANO $w(z) \approx w_0 \frac{z \lambda}{\pi w_0^2} = \theta_0 z$ CON $\theta_0 = \frac{d w}{d z} = \frac{\lambda}{\pi w_0}$ (ANGOLI DI DIVERGENZA)

PER LO STESSO FASCIO DI CUI SOPRA SI OTTENE $\theta_0 = 30 \mu rad$ (ALTISSIMA DIREZIONALITÀ)

IN UN FASCIO MULTIMODO CON BEAM WAIST w_0 SARÀ $\theta_M > \theta_0$. SI DEFINISCE IL PARAMESTRO $M^2 = \frac{\theta_M^2}{\theta_0^2} \geq 1$

PROPAGAZIONE GUIDATA

RIFLESSIONE TOTALE IN UNA FIBRA OTTICA: θ



APERTURA NUMERICA: NA = $\sin \theta = \sqrt{n_1^2 - n_2^2} \approx \sqrt{2n \cdot \Delta n}$

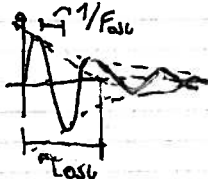
PER OTTENERE LA RIFLESSIONE TOTALE È SUFFICIENTE UNO SCARPO FRA GLI INDICI DI RIFRAZIONE DI $\Delta n = 5 \cdot 10^{-3}$

- PROBLEMI:
 - DISPERSIONE CORTICALE ($\rho_s / \text{km} \cdot \text{nm}$) ($\neq \lambda$ VEDONO \neq INDICI DI RIFRAZIONE)
 - DISPERSIONE DI POLARIZZAZIONE ($n_x \neq n_y$ PER LE DUE POLARIZZAZIONI ORTOGONALI ALL'AWF)
 - ATTENZIONE (COMUNQUE BASSA, $\alpha < 0,2 \text{ dB/km}$)

RUMORE NEI FASCI LASER

RUMORE DI AMPIEZZA: $E(t) = E_0 (1 + \alpha(t)) e^{-j2\pi f_0 t}$, $\alpha(t) \ll 1$ (BUONA STABILITÀ) $\rightarrow R_p$: RATE DI RUMORE (PUMPING RATE)

LE OSCILLAZIONI DI CALASSONATO (LA SEGUENTE DI PERTURAZIONI DI $R_p \circ Q$): $F_{osc} = \sqrt{\frac{X-1}{T_c T_{ip}}}$. CON $X = \frac{P}{P_m}$ (SOPRASTOGLIA)



QUESTE OSCILLAZIONI SI SVILUPPANO IN UN PIANO

$$T_{osc} = \frac{2 T_{ip}}{X}$$

UN LASER BEN ACCESO, CON X GRANDE, FA POCO RUMORE PERCHÉ
LE OSCILLAZIONI SI SVILUPPANO SULLE

LO TIEMPO DI VITA DEI FOTOATOMI CONTESA

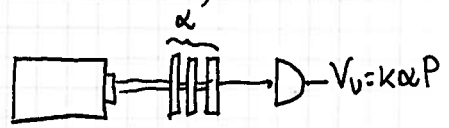
- RUMORE DI FREQUENZA: $E(t) = E_0 e^{-j[2\pi\nu_0 t + \phi(t)]}$ con $\frac{1}{2\pi} \cdot \frac{d\phi}{dt} = \Delta\nu \ll \nu_0$
 ↳ LA FLUTTUAZIONE DELLA FREQUENZA È $\nu(t) = \frac{1}{2\pi} \frac{d\phi}{dt} = \nu_0 + \Delta\nu$ (FREQUENZA ISTANTANEA)

DALL'ESPRESSIONE DELLA AUTOFREQUENZA DEL RESONATORE: $\nu = m \cdot \frac{c}{2L} \Rightarrow \Delta\nu = m \cdot \frac{c}{2L^2} (-\Delta L) \Rightarrow \frac{\Delta\nu}{\nu} = -\frac{\Delta L}{L}$
NB: L È LA LUNGHEZZA OTTICA DEL RESONATORE! È FUNZIONE DI TANTE COSE, AD ESEMPIO DELLA TEMPERATURA DEL MATERIALE ATTIVO
 ↳ @ 300 MHz $\Delta L = 1 \text{ nm} \Rightarrow \Delta\nu = 1 \text{ MHz}!$

POTENZA OTTICA

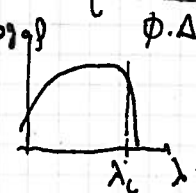
$$I_0 = \frac{E \cdot E^*}{\eta_0} = \frac{E_0^2}{\eta_0} \quad \text{con } \eta_0 = \sqrt{\frac{h\nu_0}{E_0}} = 377 \text{ fJ} \quad (\text{IMPEDIMENTO CARATTERISTICO DEL VUOTO})$$

- $P = \int I ds$ NB: DI SOLITO SI ATTENGA LA POTENZA IN USCITA DA UN LASER PRIMA DI INCIDERLA SU UN RIVELATORE OPPORTUNAMENTE COLLEGATO



- EFFICIENZA QUANTICA DEL RIVELATORE: $\eta = \frac{AN_e}{\Phi \cdot \Delta t} = \frac{\text{N° FOTOLETTIZI GENERATI}}{\text{N° FOTONI INCIDENTI}}$ (PAR. MICROSCOPICO)

- RESPONSIVITY: $r = \frac{i}{P}$ (PAR. MACROSCOPICO)



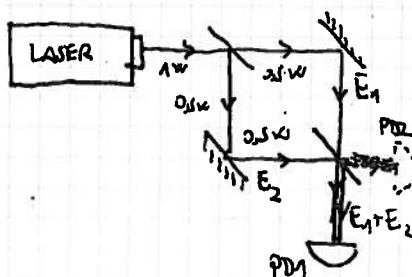
(PAR. MACROSCOPICO)

$$\left\{ \begin{array}{l} A = \frac{eAN_e}{\Delta t} \\ P = \Phi \cdot h\nu \end{array} \right. \Rightarrow r = \frac{\eta e}{h\nu}$$

- LA CORRENTE IN USCITA VIENE AMPLIFICATA A TRAMISIENZA PER OTTENERE UN SEGNALE DI TENSIONE: $V = G \cdot i = G \cdot r \cdot P \propto |E|^2 \Rightarrow$ LO FOTORIVELATORE DIRETTA PERDE LE INFORMAZIONI DI FASE E FREQUENZA DEL SEGNALE OTTICO (SONO SENSIBILI SOLO ALLA POTENZA)

MISURE INDIRETTE (INTERFERENZA)

(RIVELAZIONE SOVRAPPONTE)



IN MISURAZIONE INDIRETTAMENTE E_1 E E_2 TRAMITE LA LORO SOMMA \Rightarrow GRABBE AI FENOMENI DI INTERFERENZA POSSO RISOLVERE A FASE E FREQUENZA DI UNO DEI DUE CAMPI, NON L'ALTRO!

SUPPONIAMO SIA NOTO: $E_L(t) = E_{L0} e^{-j \cdot 2\pi\nu_L t}$, $\phi_L = 0$ (OSCILLAZIONE LOCALE)

E CHE SIA DA RIVELARE: $E_R(t) = E_{R0} e^{j(2\pi\nu_0 + \phi(t))}$

$$P(t) = [E_L + E_R] (E_L + E_R)^* \cdot S = (|E_L|^2 + |E_R|^2 + E_R E_L^* + E_L E_R^*) \cdot S = P_R + P_L + \frac{S}{\eta_0} E_{R0} E_{L0} e^{-2\pi j(\nu_0 - \nu_L)t + \phi(t)} = P_R + P_L + 2\sqrt{P_R P_L} \cos(2\pi(\nu_0 - \nu_L)t + \phi(t))$$

- LA POTENZA MISURATA DIPENDE DALLA FASE DEL SEGNALE DA MISURARE

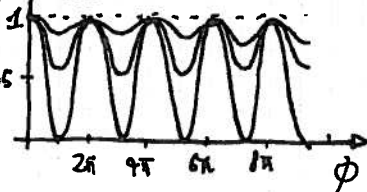
NB: SE $P_R = P_L = P_0$ SI HA $P(t) = 2 [P_0 + P_0 \cos(2\pi(\nu_0 - \nu_L)t + \phi(t))]$ ↳ UN MINIMA CORRISPONDONO A UN'INTERFERENZA DISTURBIVA ($P_{min} = 0$)
 (P(t) = $2P_0 (1 + \cos(2\pi \Delta\nu t))$) È UNA SINUSOIDA DI FREQUENZA $\Delta\nu$ (SOMMATA A UNA COSTANTE)

Δν PUÒ ESSERE DELL'ORDINE DI MHz, QUINDI DIRETTAMENTE INDUCIBILE DA UN CIRCUITO ELETTRONICO (LA DIFFERENZA DELLE FREQUENZE OMICHE CHE SONO CENTINAIA DI THz) $\Rightarrow P_{max}$

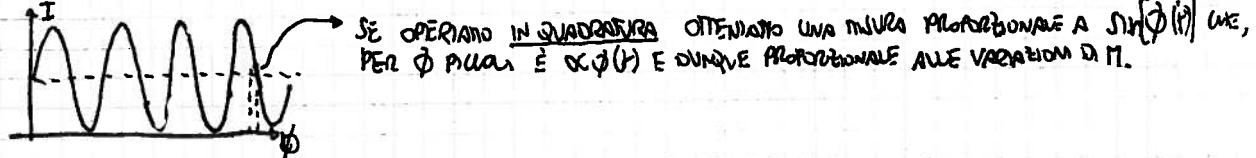
NB2: INT. COSTRUTTIVA \rightarrow 1W SU PD1
 INT. DISTURBIVA \rightarrow 0W SU PD1 (1W SU PD2) } AL VARIARE DELLA FASE SI OSCILLA FRA QUESTI DUE ESTREMI

- SI DEFINISCE LA VISIBILITÀ DELLE FRANGE?

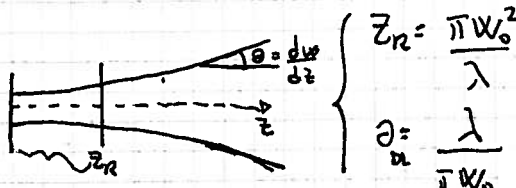
$$V = \frac{P_{max} - P_{min}}{P_{max} + P_{min}}$$



→ UN INSURGENTE M' IN GRADO DI ALTERARE FASE O FREQUENZA DEL SEGNALE È PUÒ ESSERE RIVELATO IN D'AMERA COERENTE
OSSERVANDO LE VARIAZIONI DI FASE/FREQUENZA DEL SEGNALE DI BATTIMENTO



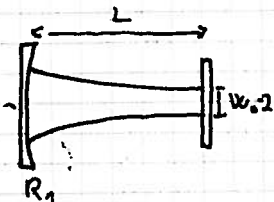
A LINEAMENTO / PUNZETTO E MISURE DIMENSIONALI



UTILIZZO IL LASER PER COSTRUIRE LINEE RETTE LUNGO DIREZIONI PREFERENZIALI (COME UN FILO A PIOMBO CHE PERÒ PUÒ ESSERE SOLO VERTICALE)

→ PROPAGAZIONE DEL FASCIO GAUSSIANO:

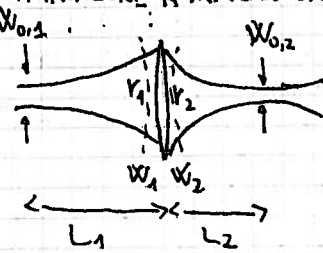
$$\left\{ \begin{array}{l} w(z) = w_0 \sqrt{1 + \left(\frac{z}{z_r}\right)^2} \approx z \cdot z_r \text{ PER } z \gg z_r \\ r(z) = z \left[1 + \left(\frac{z}{z_r}\right)^2\right] \approx z \text{ PER } z \gg z_r \end{array} \right. \quad (w \text{ È IL RAGGIO DELLA MACCHIA})$$



CON UN RESONATORE PIANO-SFERICO, CON R_1 E L FISSI, FISSO AUTOMATICAMENTE IL BEAM WAIST DEL FASCIO GAUSSIANO:

$$R_1 = L \cdot \left(1 + \left(\frac{\pi w_0^2}{\lambda L}\right)^2\right) \Rightarrow w_0 = \sqrt{\frac{\lambda L}{\pi}} \left(\frac{R_1}{L} - 1\right)^{1/4} \text{ NE DERIVA CHE DEVE ESSERE } R_1 \gg L$$

PROPAGAZIONE ATTRAVERSO UNA LENTE:



$$\text{VALE } \frac{1}{r_1} + \frac{1}{r_2} = \frac{1}{f} \quad \text{E } w_{0,1} = w_2 \quad (\text{LA LENTE È SOTTA E LA DIMENSIONE DI MACCHIA NON VARIA ATTRAVERSO DI ELA})$$

NOTA IL FASCIO INCIDENTE ($w_0,1, r_1$ opp $w_0,1$) RICHO r_2 E DA LI, AVENDO $w_2 = w_1$, RISALGO A $w_{0,2}$.

NELL'IPOTESI DI LONTANIA (BEAM WAIST LONTANO DALLA LENTE) $\left\{ r_{1,2} \approx L_{1,2} \right.$

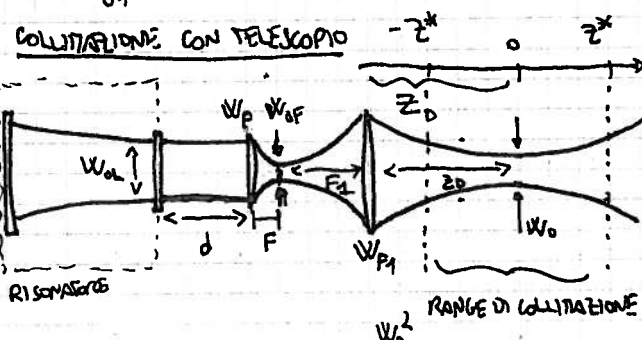
→ DEDUCIAMO RISULTATO: $\frac{r_1}{\partial z} \approx \frac{r_2}{\partial z} \quad \text{Ricordando che } \theta = \frac{\lambda}{\pi w_0}$

$$\frac{w_{0,1}}{w_{0,2}} \approx \frac{r_1}{r_2} \approx \frac{L_1}{L_2} \Rightarrow \frac{w_{0,1}}{L_1} = \frac{w_{0,2}}{L_2}$$

$$\partial r_1 \approx w_1 = w_2 \approx \partial r_2$$

$M = \frac{w_{0,2}}{w_{0,1}}$ SI DICE FATTORE DI MAGNIFICAZIONE (SE $M < 1$ STO FOGLIANDO...)

N.B.: I RAGGI DI CURVATURA E' DIFFICILE MIGLIARLO, SI LAVRA IN CANTO LONTANO E SI MIGLIORA SEMPRE $L_{1,2}$.



VOGLIO AVERE UN FASCIO COLLIMATO SU UN RANGE. $2z^*$, DOVE PER COLLIMATO INTENDO AVENTE DIMENSIONI DI MACCHIA PIU' PICCOLA DI UN FISSO w^* SU TUTTO IL RANGE.

→ ESISTE w_0 OTTIMO CHE PERMETTE QUESTA CATA (w_0 PIUCCHIO → DIVERGE TROPPO, w_0 GRANDE → PARTE GRANDE TROPPO GRANDE)

→ DEVO MINIMIZZARE $w(z^*)$ FUNZIONE DI w_0 (IL FASCIO È PIU' LARGO AL MIGLIOR ESTREMUM DEL RANGE)

$$w^2(z) = w_0^2 + \left(\frac{\lambda z}{\pi w_0}\right)^2 = y = w \left[1 + \frac{\lambda^2}{w^2}\right] \Rightarrow \frac{\partial y}{\partial w} = \frac{\partial w^2}{\partial w_0^2} = 1 - \left(\frac{z}{z_r}\right)^2 = 0 \quad \text{DA LI FISSATO } z = z_r^* \text{ OTTENGO:}$$

$$\Rightarrow z_r^* = z^* \Rightarrow w_{0,op} = \sqrt{\frac{\lambda z^*}{\pi}} \quad (\text{CIO'E IL RANGE DI Rayleigh DEV' ESSERE pari alla metà del range di collimazione})$$

$$\text{NELL' STESSO SISTEMA PRECEDENTE } \frac{W_{0F}}{W_{0L}} \approx \frac{F}{d} \quad \text{E} \quad \frac{W_0}{W_{0F}} \approx \frac{Z}{F_1} \Rightarrow W_0 = \frac{Z}{F_1} \cdot \frac{F}{d} \cdot W_{0L}$$

GIN QUESTO CASO LA MAGNIFICAZIONE TOTALE È $m = \frac{W_0}{W_{0L}} = \frac{Z}{d} \cdot \frac{1}{M}$ DOVE $M = \frac{F_1}{F} = \frac{W_{0F}}{W_F}$ È LA MAGNIFICAZIONE DEL TELESCOPIO

LA LENTE DI FOGLIE F È L'OCULARE, PICCOLE VARIAZIONI DELLA SUA POSIZIONE PERMETTONO DI REGOLARE LA DIMENSIONE W_0 .

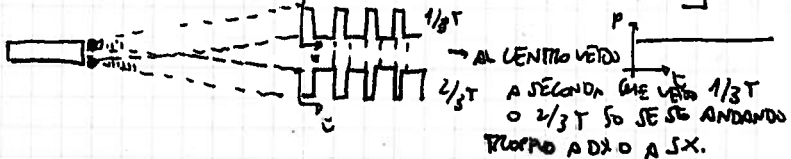
Ese: LASER He-Ne, lente piana-concava ($L = 20\text{ cm}$, $R_{OC} = 1\text{ m}$), $\pm Z^* = \pm 20\text{ m}$
Trovare m (magnificazione della macchia) E M (magnificazione del telescopio)

$$\rightarrow W_{0L} = \sqrt{\frac{\lambda L}{\pi}} \cdot \left(\frac{R_{OC}}{L} - 1 \right)^{1/4} \cdot 282\text{ }\mu\text{m} \quad \& \quad W_0 = \sqrt{\frac{\lambda F}{\pi}} = 2\text{ mm} \Rightarrow m = \frac{W_0}{W_{0L}} = 7,1$$

SUPPOSSIMO UNA DISTANZA OCULARE $d = 10\text{ cm}$: $M = \frac{Z}{d} \cdot \frac{1}{m} = 28$

L

APPPLICAZIONI: • CAMPISTICHIATE MARINA

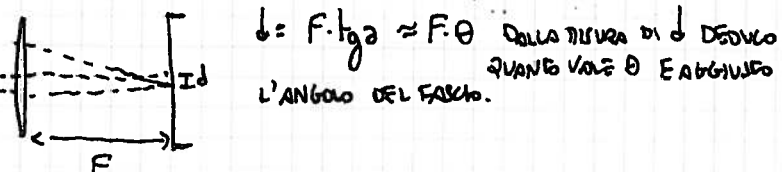


• LINEE LASER

• CENTRAZIONE SUL SERVOLAZIO: A DELL'AX > 1mm. SE VOGLIO ESSERE + PRECISO

$S_x = S_1 + S_4 - (S_2 + S_3)$ POSSO USARE UN FOTOZOOGO A 4 QUADRANTI (SE CALCO UN QUADRANTE PIÙ DEGLI ALTRI)
 $S_y = (S_1 + S_2) - (S_3 + S_4)$ AL DI UN'USCITA PROPORZIONALE AL DISPLACEMENTO) O UN POSITION SENSITIVE DETECTOR (PSD). SOLUZIONE IN DISIJO: FOTOZOOGO NORMALE + RETICOLO ROTANTE CHE PROGETTA
LUCE IN FUNZIONE DELLA POSIZIONE DI ARRIVO

• ALLUNGAMENTO DELLA COORDINATA ANGOLARE (VOGLIO ESSERE I SUL SERVOLAZIO)



SE $F = F_1$ COINCIDIREBBERO ESATTAMENTE CON I DUE FUOCI AVREI IL BEAMWAIST ALL'INFINITO. IN REALITÀ SE SPASSO DI POCO L'OCULARE NON FOGLIAZZO PIÙ ESATTAMENTE (VARIA F_1) E CONSI LA DIMENSIONE DI MACCHIA SULL'ULTIMA LENTE

• I SEGNALI S_x E S_y LI GENERO CON UN CIRCUITO A OPERAZIONALI (ANP A TRANSPARENZA + SONNA TENSIONI) RIFARE: JUDS 17/38, CYCLOS 110 CON PLACCA GRAVITANTE (IL PROFIL METALLICO) UNO X UN RISPOSTA << 10%

• NOTAUNOLO RIPIETTO ALLA POTENZA FOGLIALE $P_0 = S_1 + S_2 + S_3 + S_4$. L'ACCURATEZZA DELLA MISURA DIPENDERÀ DA P_{SR} (POTENZA INCIDENTE), W_0 , FORMA DELLO SRST E PIAGLIO DEL FOTOZOOGO. LA RISOLUZIONE DELLA MISURA DIPENDERÀ DALL'ELETTRONICA DI MISURA DELLE FOTOCORPIENTI MIGRATORIE (RISOLUZIONE È IL PIÙ PICCOLO AX CHE PUÒ DISTINGUERE TRA DUE MISURE X_0 E $X_0 + \Delta X$).

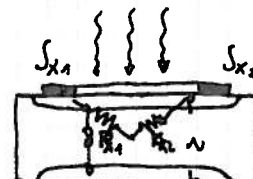
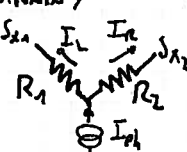
• SI DEFINISCE CORPO DI MISURA DEL RIVELATORE IL MASSIMO ANGOLO DI INCIDENZA CHE PUÒ AVERE UN FAUCIO PER ESSERE RAVELATO

$$\Theta_{FOV} = \frac{r_{PD}}{F} \quad \text{OSSERVANDO IL FAUCIO}$$

ANALOGO ANALOGICO DEL FOTOZOOGO A QUADRANTI: POSITION SENSITIVE DETECTOR (PSD). LE ZONE PIÙ SOFFICI È ALTAMENTE RESISTIVE $\Rightarrow S_{x1}, S_{x2}$ RACCOLGONO PIÙ O meno CORRENTE A SECONDA DEL PUNTO IN CUI IN CIOE IL FAUCIO. IOSTI PER LA COORDINATA Y

$P \propto X; R_2 \propto L - X$ SONO MOLTO LINEARI IN TUTTO IL RANGE DI MISURA

$$I_L = \frac{R_2}{R_1 + R_2} I_{ph} = \frac{L - X}{L} I_{ph} \quad F I_R = \frac{X}{L} I_{ph}$$

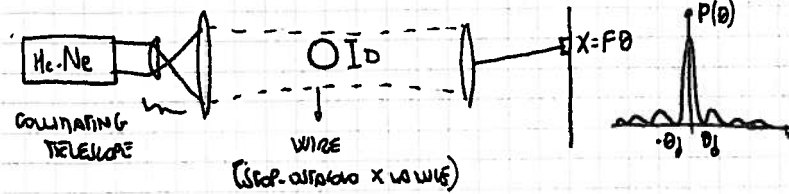


• ANALOGICO A TRANSPARENZA ($G = -1$) LA DIFFERENZA: $S_x = -R(I_L - I_R) = \left(\frac{2X}{L} - 1\right) \cdot R \cdot I_{ph}$

(OMAMENTE IL TUTTO DEV'ESSERE UN FORTE, RESISTIVITY ρ , RESISTIVITÀ, SU TUTTO IL DISPOSITIVO)

f.p

MISURE DEL DIAMETRO DI FILI DALL'ANALISI DEL PROFILO DI DIFFRAZIONE



NB: La misura del diametro è tanto più sensibile quanto più D è piccolo! (inverso X , per fili piccoli X è grande, profilo di diffrazione allargato).

NB2: Il filo deve essere in corrispondenza del waist ed essere contenuto nel fascio ($\cot D < 1\%$)

Stessa cosa per la misura del diametro di particelle in sospensione in aria (part. nld, ...) solo che qui lo stop è circolare e il profilo di diffrazione sarà la somma di funzioni di Bessel.

Tipi di scattering di onde $\Theta \lambda$ con particelle di raggrado r :

① RAYLEIGH ($r \ll \lambda$): $Q_{ext} \propto \left(\frac{r}{\lambda}\right)^4$

② INTERMEDIATE ($r \approx \lambda$): $Q_{ext} \approx [2; 4]$

③ Mie ($r \gg \lambda$): $Q_{ext} \approx 2$

EMISSIONE IN DIREZIONE DI PROPAGAZIONE DELLA UNDE INCIDENTE

Lo stop è rettangolare → la lente crea un profilo di diffrazione a seno circolare:

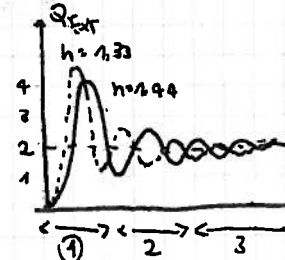
$$P(\theta) \propto \sin^2\left(\frac{\pi \theta}{\lambda/D}\right) = \sin^2\left(\frac{\pi \theta}{\theta_0}\right)$$

Il primo zero del sinc è l'ho a:

$$\theta_0 = \theta_f = \pm \lambda/D \Rightarrow X_f = \pm F\lambda/D$$

$$Da cui ricavo D = \frac{F\lambda}{X} \xrightarrow{\text{misurare } F \text{ e } X}$$

$\frac{\lambda}{D}$ è il rapporto tra la sezione di estinzione della w/e e la sezione della particella diffondente



NB: Ad alte λ scattero uniformemente (RAYLEIGH) $\sim N_2$ e O_2 in atmosfera diffondono il glu \sim sole radio in framme che è l'unica a che arreca non scatterata all'occhio.

$$\lambda = \frac{c}{f}$$

$$d\lambda = \frac{c}{f^2} df \quad \frac{d\lambda}{\lambda} = \frac{df}{f}$$

TELEMETRI OTTICI (RANGE FINDERS)

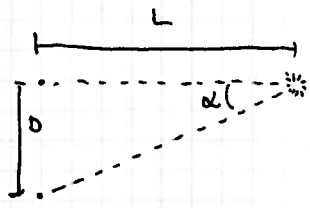
TELEMETRIA = MISURARE LA DISTANZA TRA LO STRUMENTO E UN OGGETTO REMOTO (TARGET)

METODO: ① TRIANGOLAZIONE (METODO TRIGONOMETRICO): OSSERVO L'OGGETTO DA DUE PUNTI

A DISTANZA D NOTA E SI MISURA
L'ANGOLI DI VISTA α_1 :

PROBLEMA: DEVO MISURARE ANGOLI PIÙ
(IN MISURE APPROSSIMATIVE)
[0,1 - 10 m]

$$L = \frac{D}{\tan \alpha_1} \approx \frac{D}{\alpha_1} \text{ PER AL PICCOLI}$$



② A TEMPO DI VOLO (MISURA TEMPORALE): IL TEMPO DI VOLO SARÀ $T = \frac{2L}{c}$ [0,1 - 10 km]

PROBLEMA: DEVO MISURARE TEMPO BREVI CON BUONA ACCURATEZZA! INVECE DI T MISURANO
LO SFASAMENTO DELL'ONDA CHE VIENE OPPORTUNAMENTE MODULATA A F_m : [1-1000 m]

$$\Delta\phi = 2\pi F_m \cdot T \quad \text{DA CI} \quad L = \frac{c}{2} \cdot \frac{\Delta\phi}{2\pi F_m} = \frac{\lambda_m}{2} \cdot \frac{\Delta\phi}{2\pi} \quad \begin{array}{l} \text{CONTEGGIO IN TERMINI DI } \lambda_m / 2 \\ (\text{NB: } \lambda_m \text{ È LUNGA RISPETTO ALLE} \\ \text{ONDE OTTICHE, L'HO CREATA IO...}) \end{array}$$

③ INTERFEROMETRIA: CONTEGGIO DI LUNGHEZZE D'ONDA OTTICHE TRA NOI E IL TARGET

↳ NB: CON GIÀ DETTO DEV'ESSERE UNA MISURA COERENTE PER NON PERDERE INFO SU
FREQUENZA E FASE DELLA LUCE \Rightarrow MISURA OTTOGNA (UN FAUCO CON SE STESSO) O
ETERODINA (UN FAUCO CON UN ALTRO DI RIFERIMENTO)

NB2: NON È UNA MISURA ASSOLUTA MA INCREMENTALE, DEBO CONTAZIE $\lambda/2$ (NOTIZIENO
ALMENO GRADUATAMENTE IL GERRABLUO O IN CASO DI PICCOLI VARIAZIONI)

$$\text{MISURA } \cos\left(2\pi \cdot \frac{L}{\lambda/2}\right) \rightarrow \Delta\phi = 2 \cdot \frac{2\pi}{\lambda} \cdot L \Rightarrow L = \frac{\lambda}{2} \cdot \frac{\Delta\phi}{2\pi} \quad \begin{array}{l} \text{È IMPORTANTE} \\ \text{L'ACCURATEZZA SU } \lambda \end{array}$$

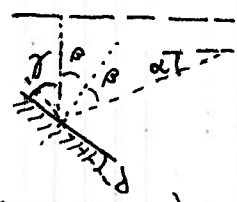
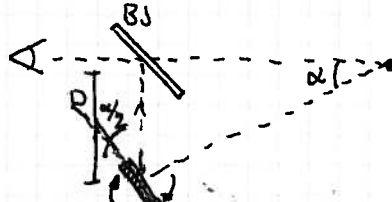
$\Delta\phi \rightarrow$ MISURA INCREMENTALE: DIFF. TRA FASE FINALE E FASE INIZIALE
(CON λ OTTICHE MI BASTA RIDURRE $\Delta\phi = 2\pi$ PER AVERE RESOLV. SUB-MICRONETRICA)

NB3: PER MISURARE $L > \lambda/2$ BIDOGNA RIDURRE IL PROBLEMA DELL'ANGOLI DI VISIONE TRA
 $\Delta\phi = m \cdot \pi$ $\Delta\phi = m + 2\pi$)

① TRIANGOLAZIONE PASSIVA (CON LUCE SOLARE):

↳ BEAMPLITTER A 45° + SPECCHIO A DISTANZA
D DALL'OSSERVATORE (SULLA STELLA LINEA DI
BAJE INCLINATO DI $\alpha/2$ PARISI A BS).

QUANDO LO SPECCHIO INVIA IN BS UN'IMMAGINE
DEL TARGET CORRISPONDE A QUELLO DIRITTO NESSUNO TRIANGOLATO L'OGGETTO (= TRACCI L'ANGOLI DI VISTA α)



$$L \approx \frac{D}{\alpha} \quad \text{DA CI} \quad \Delta L = - \frac{D}{\alpha^2} \cdot \Delta\alpha = - \frac{L^2}{D} \cdot \Delta\alpha \quad \begin{array}{l} \text{PER AL PICCOLO L'ERRORE CRESCE!} \\ (\text{CIOÈ PER GRANDI DISTANZE}) \end{array} \quad \frac{\Delta L}{L} = - \frac{\Delta\alpha}{\alpha} \cdot \alpha \cdot L$$

PERCHÉ $\alpha/2$? GUARDANDO IL DISEGNO A DX:

$$\begin{cases} \alpha + 2\beta = 90^\circ \\ \gamma + \beta = 90^\circ \end{cases} \quad \begin{array}{l} \text{DA UN APPENSO } \delta + \beta = 45^\circ \text{ E} \\ \alpha/2 + \beta = 45^\circ \end{array}$$

ACCURATEZZA SU α : NEL MICROSTERIO opp.
ENCODER ANGOLARE (MISURA DIRETTAMENTE L'INCLINAZIONE
DELLO SPECCHIO, ANCHE INCLINATO A 90°)

$$\Delta\alpha = 3 \text{ mrad (INT)} \rightarrow \frac{\Delta\alpha}{L} = 3\% \quad (\text{CON } D=10 \text{ cm E } L=1 \text{ m})$$

$$0,1 \text{ mrad (ENCODER)} \rightarrow \frac{\Delta\alpha}{L} = 0,1\%$$

TRIANGOLAZIONE ATTIVA: No Punti in Movimento, + Accuratezza e Minore + Veloci

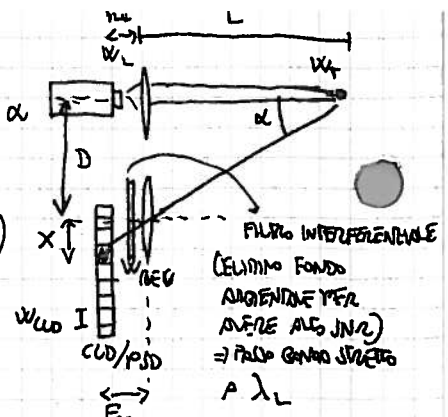
→ misura della posizione di riferimento del fascio laser su un PZO che dipenderà da α

α si misura come spostamento della macchia sul piano focale dell'ottica del rivelatore

$$\text{e } \alpha = \arctg \frac{D}{L} = \arctg \frac{x}{f_{\text{rel}}} \Rightarrow L \approx \frac{D}{x} \cdot f_{\text{rel}} \propto \frac{1}{x} \quad (\text{dove } f_{\text{rel}} = \frac{x}{\alpha})$$

Nota: la macchia laser su target x_f deve farla raggiungere stessa. Si ha:

$$W_L = \frac{W_f}{L} = \frac{W_{\text{rel}}}{f_{\text{rel}}} \Rightarrow W_{\text{rel}} = \frac{f_{\text{rel}}}{L} W_L \quad (\text{dimensione di macchia sul fotorelatore})$$



Ciò che lente converte $\alpha \rightarrow x$ è $\Delta\alpha \rightarrow \Delta x$; a una piccola variazione L corrisponde $\alpha + \Delta\alpha$ e $x + \Delta x$

N.B.: per L grandi la sensibilità è minore

DIFERENZIANDO L'ESP. DI UNA MISURA: $\Delta L = -\frac{D}{x^2} f_{\text{rel}} \Delta x \Rightarrow \frac{\Delta L}{L} = -\frac{\Delta x}{x} = -\frac{\Delta\alpha}{\alpha}$ cioè ancora come nel caso passivo

Ese: $D = 10 \text{ cm}$ (linea di base = distanza laser/photon)

$$f_{\text{rel}} = 25 \text{ cm}$$

$$L = 1 \text{ m}$$

$$W_L = 5 \mu\text{m}$$

$$W_{\text{rel}} = 10 \mu\text{m}$$

$$f_{\text{CCD}} = 125 \text{ mm}$$

→ posizione macchia sul fotorelatore rispetto all'asse ottico della lente: $x = \frac{D}{f_{\text{rel}}} = 25 \text{ mm}$
Se risolviamo $\Delta x = 10 \mu\text{m}$ ($\approx W_{\text{CCD}}$) la rivelazione è:

$$\frac{\Delta L}{L} = \left| \frac{\Delta x}{x} \right| = 4 \cdot 10^{-4} \quad (\text{400 pm su 1 m}) \quad \text{e } \Delta\alpha = 40 \text{ mrad} \quad (\text{tutto regolato su 100 pm})$$

vogliamo calcolare W_{rel} a partire dai dati:

$$\text{e } \frac{W_L}{f_{\text{rel}}} = \frac{W_f}{L} = \frac{W_{\text{rel}}}{f_{\text{rel}}} \Rightarrow W_f = 10 \mu\text{m} \Rightarrow W_{\text{rel}} = 10 \mu\text{m} \approx W_{\text{CCD}}$$

N.B.: SFRUTTANDO L'ESPANSIONE SPATIALE DELLA MACCHIA LASER si può INTERPOLARE SU PIÙ PIXEL ILLUMINATI PER POTER RISETTARE ANCHE LA FRATTIONE DI PIXEL

Ese: $W_{\text{rel}} = 50 \mu\text{m}$ su CCD da 1024 px
12 bit in ampiezza

$$W_{\text{CCD}} = 10 \mu\text{m} \quad (\text{larghezza del pixel})$$

$$\lambda = 633 \text{ nm} \Rightarrow \text{si vede forse solo al centro!}$$

$$\text{LIVELLO DI FONDO} = \frac{1}{100} \text{ di DINAMICA DI MISURA}$$

Q) Centro è larghezza px?

a) LIVELLO ACCURATEZZA?

b) $k_s = 0,1 \text{ px} \Rightarrow$ risoluzione con $L = 10 \text{ m}$?

$$\text{LISV } x \dots 10 \text{ cm vistosi su L}$$

→ b) quanti pixel sono sufficientemente illuminati?

Gli singoli pixel risolvono 4096 (2^{12}) livelli di ampiezza

→ 1 px è suff. illuminato se la fotocorrente di segnale è pari a quella minima risolvibile ($y_N=1$): $\frac{1}{100}$ dinamica (fondo)

b) l'intensità decresce come $e^{-2r^2/W_{\text{rel}}^2} \cdot \frac{1}{100}$ del pixel cf. l'ho

$$\text{per: } \frac{y}{W_{\text{rel}}} = \sqrt{\frac{1}{100} \ln 100} \Rightarrow y = 75 \mu\text{m}$$

considerando la sola quantizzazione avrei una macchia già illuminata largo 20px ($200 \mu\text{m}$)

La posizione dello spot si può determinare con media pesata delle fotocorrenti dei simboli pixel opp. fatto al minimo quadrato con Gaussiana + costante

c) limiti accuratezza: rumore shot, corrente di fondo, luce ambiente

$$\text{d) il CCD ha dimensione: } 1024 \cdot 10 \mu\text{m} = 1 \text{ cm} = x_{\text{max}} \Rightarrow \text{dato che } \frac{\Delta x}{x_{\text{max}}} = -\frac{\Delta L}{L} \quad \text{e } \Delta L = \frac{L_{\min}}{L_{\max}} \frac{\Delta x}{x} = 1 \text{ mm}$$

N.B.: L_{\min} è limitata dalle dimensioni del rivelatore (avendo $x < x_{\text{max}}$)

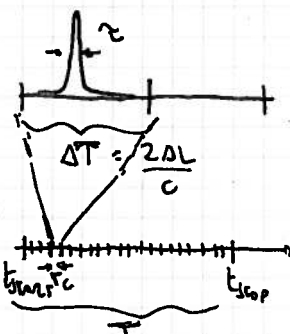
(TOP)

$$\textcircled{2} \text{ TELEMETRI A TEMPO DI VOLO: } T = \frac{2L}{c} \rightarrow L = \frac{c}{2} T \rightarrow \frac{\Delta L}{L} = \frac{\Delta T}{T}$$

NB: $\Delta L = \frac{c}{2} \Delta T$ È COSTANTE CON LA DISTANZA MISURATA E DIPENDE SOLO DALL'ACCURATEZZA CON CUI MURO L'INTERVALLO TEMPORALE

Per risolvere $\Delta L = 1 \text{ m}$ ci serve
 $\Delta T \approx 7 \text{ ns}$ IMPULSI COSÌ BREVI SONO
 AL LIMITE DEL Q-SAMPLING... (MI SERVONO
 IMPULSI BREVI PER DETERMINARE CON PRECISIONE
 IL TEMPO DI ARRIVO INDIRETTO AL RIVETORE)

→ DIFFICILE ANDARE SOTTO $\Delta L = 1 \text{ mm}$ CON TOF CONVENTIONALE
 (OCLICHEZIONE IMPULSI SOTTO IL PICCOLO)
 IL MODE LOCKING IMPULSI DI RITRASMISSIONE CHE
 QUANDO SI DISPERDONO PREMUR IN ARIA (TOF VIENE USATO
 SU GRANDE DISTANZA PER I LIMITI ALL'ACCURATEZZA)



OCCORRE LAVORARE CON $T \leq \Delta T$. T DEVE ESSERE RIVELATO DAL RICEDUTORE
 CHE QUANDO DEVE AVERE UNA BANDA $\sim \frac{1}{T}$ (SI VEDI G.M.)

Per avere banda (cioè ALTA) DEVE ESSERE PICCOLA → PROBLEMI DI
 ACCOGLIIMENTO COL FOCALIS LASER (SI DOVRÀ FOCALIZZARE TANTI FOTONI SU
 UN'AREA PIICCOLA)

T_c È LA RISOLUZIONE FINITA DEL CONTAGIUS RICEDUTORE A UN CORRISPONDENTE UN'
 INCERTITUDINE DI QUANTIZZAZIONE:

$$N_q(t) = G(t) \cdot T_c / \sqrt{2}$$

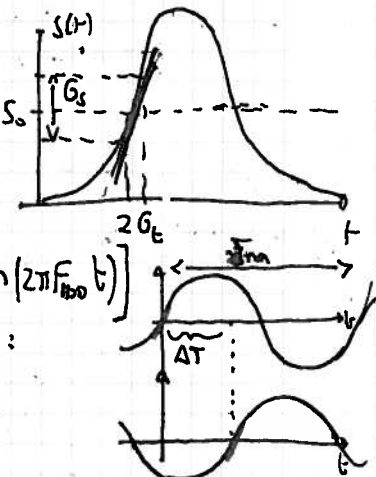
SOMMA INQUADRATICA

NB: A RIGUARDO $N_q(t_{stop}) \gg N_q(t_{start})$ (cioè t_{stop}) POGLIE L'IMPULSO CHE ARRIVA È TOLTO DA QUESTA
 VENGONO ARRENNATE NEL PERCORSO DI A/R

$$T = t_{stop} - t_{start}, \quad G^2(T) = G^2(t_{stop}) + G^2(t_{start}) \approx G^2(t_{stop})$$

LA POSIZIONE

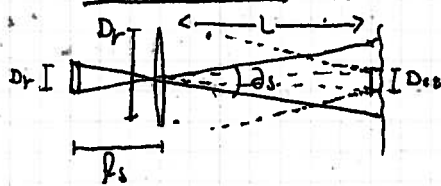
DEGLI IMPULSI NEL TEMPO SI DETERMINA CON UN DAZZLER SUL SEGNALE IN Uscita DAL
 RICEDUTORE. IL RIVETORE IN APPARECCHIO SU QUESTO SEGNALE SI PRODUCE IN UN
 INCERTITUDINE TEMPORALE ATTIVAMENTE. LA PENDENZA DELL'IMPULSO A SEGUICI → METTO
 LA DATA TOME L'IMPULSO È PIÙ RAPIDO.



- TELEMETRI A ONDA CONTINUA: POTENZA OTTICA MODULATA: $P(t) = P_0 [1 + m \cdot \sin(2\pi f_{mod} t)]$
- MISURA LO SFORZAMENTO DELL'ONDA (ME FORMA INDIRETTA RISPETTO A QUESTA POTENZA):

$$\frac{\Delta \Phi}{2\pi} = \frac{\Delta T}{T_m} = \frac{2L}{c} \cdot f_m \Rightarrow L = \frac{c}{2} \cdot \frac{1}{2\pi f_m} \cdot \Delta \Phi$$

POWER BUDGET: QUANTA POTENZA OTTICA HO SUL RIVETATORE



IL RICEDUTORE PUÒ ESSERE COOPERATIVO (RIFLETTIVITÀ $R=1$) OPPURE
 NON COOPERATIVO (DIFFUSIVITÀ $\delta < 1$)

④ LA DIMENSIONE DI RACCOLTA SUL RICEDUTORE È $\approx D_s \cdot 2L = D_r$
 DI SOLITO LA LENTE DI RACCOLTA È PIÙ PICCOLA E QUINDI C'È UN TERMINE
 DI INEFFICIENZA:

$$\text{a) } \frac{P_{rec}}{P_{sc}} \frac{D_r^2}{(D_s \cdot 2L)^2} \quad (\text{LA LENTE DI RACCOLTA IL FAUCIO})$$

SE Ds > D_r (LONTANA DAL FAUCIO)

$$\left\{ \begin{array}{l} \frac{P_{rec}}{P_{sc}} \frac{D_{sc}^2}{(D_s \cdot L)^2} \\ \frac{P_{rec}}{P_{sc}} = \frac{D_r^2}{(2D_{sc})^2} \end{array} \right. \quad (\text{N' È LENTE DI RACCOLTA AL RICEDUTORE CON UNA LENTE } D_r = 2D_{sc})$$

SE LA RACCOLTA È LONTA D_{sc} DOPO L (DOPO ESSERE STATA DIFRATTATA).

QUESTO TERMINE CONTA SOLO SE $D_r < 2D_{sc}$ (CHE SE ANCHE LA
 LENTE DI RICEDUTORE DIFRATTÀ IL FAUCIO). IN QUESTO CASO SI HA:

$$\frac{P_{rec}}{P_{sc}} = \frac{D_r^2}{(D_s \cdot 2L)^2} \quad (\text{QUÈ LONTA È IL FAUCIO SOLO LA LENTE CHE DIFRATTÀ})$$

N.B.: $B = \frac{dP}{A \cos \theta d\Omega}$ o $d\Omega = d\theta d\phi$

- ② RADIANTE DI UN DIFFUSORE LAMBERTIANO:

$$B = \frac{I}{A}, \quad \frac{dP}{A \cdot d\Omega} = \frac{P}{A \cdot \Omega}$$

$$I = I_0 \cos \theta$$

$$\int d\Omega = B \cdot A \int d\theta \int d\phi \sin \theta d\theta = 2\pi B$$



RADIANZA?

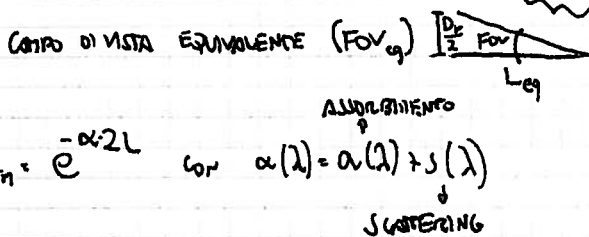
LA SPILLANZA DEL BERSAGLIO È $\frac{1}{\pi}$ VOLTE L'INTENSITÀ OTTICA DIFFUSA: $B = \frac{1}{\pi} \cdot \frac{S \cdot P_s}{A_f}$

L'ANGOLI DI VISTA DEL RICEVITORE DAL BERSAGLIO È $\Omega_r = \left(\frac{D_r}{2}\right) \cdot \frac{1}{L}$ E IL CORRISPONDENTE ANGOLI SOLIDO: $\Omega_{sr} = \frac{\pi D_r^2}{4L^2}$

• LA POTENZA OTTICA RACCOLTA DAL RICEVITORE È: $P_r = B \cdot A_r \cdot \Omega_{sr} = S \cdot P_s \cdot \frac{D_r^2}{4L^2}$
• $\frac{P_r}{P_s} = S \cdot \frac{D_r^2}{4L^2}$ come per ① da sì $S \leq 1 \ll \frac{1}{\theta_s^2}$ al posto di $\frac{1}{\theta_s^2}$... differiscono di ordini di grandezza!

• DIFFRAZIONE (T_{opt}) E PERDITE AGGIUNTIVE (T_{att}): $\left[\frac{P_r}{P_s}\right]_c = T_{opt} T_{att} \cdot \frac{D_r^2}{\theta_s^2 \cdot 4L^2}$: $\left[\frac{P_r}{P_s}\right]_{nu} = T_{opt} T_{att} \cdot S \cdot \frac{D_r^2}{4L^2}$

• VALE L'ESPRESSIONE GENERALIZZATA: $\boxed{\frac{P_r}{P_s} = G \cdot \frac{D_r^2}{4L^2}}$ CON $L_{eq} = \frac{L}{N_{att}}$ (DISTANZA EQUIVALENTE)



$$2 \quad G = \frac{T_{opt}}{\theta_s^2} \quad \checkmark \quad G = T_{opt} \cdot S \xrightarrow{\text{OMOLOGUE ANTIREFLESSO}} \text{ALTA } \checkmark \text{ DEL LATERALE} \rightarrow T_{opt} > 0,98$$

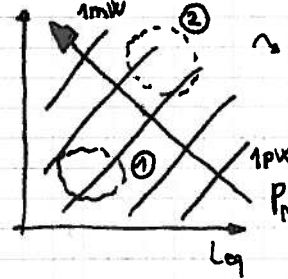
$$\cdot T_{att} = e^{-\alpha \cdot 2L} \text{ con } \alpha(\lambda) = \alpha(1) + s(\lambda)$$

RUMORE NEI TELEMETRI

→ SI RIFERISCE ALL'INGRESSO

RUMORE ELETTRONICO + RUMORE SEGNALE OTTICO (LUCE AMBIENTE, ...) + RUMORE SHOT → IN POTENZA IN INGRESSO = P_N

$\frac{S}{N} = \frac{P_r}{P_n}$ dove $P_r = GP_s \cdot \frac{D_r^2}{4L_{eq}^2}$ QUANDO PER LAVORARE A UN FISSO RAPPORTO S/N VIGOROSO INVERSO CHE LA POTENZA DELLA SORGENTE RISPETTI LA CONDIZIONE:



QUESTE SONO LE REGOLE
A $S/N = 10$, $D_r = 10 \text{ cm}$
E AL VARIARE DELLA POTENZA DI RUMORE
SI DISTINGUONO DUE ZONE DI FUNZIONAMENTO:

$$GP_s = \frac{4L_{eq}}{D_r^2} \left(\frac{S}{N}\right) \cdot P_n$$

- { ① BERSAGLIO COOPERATIVO \Rightarrow G ALTO, P_s BASSA
 \Rightarrow BASSO RUMORE, LATERALE IN CONTINUA
② BERS. NON COOPERATIVO \Rightarrow G BASSO,
ALTA POTENZA E ALTO RUMORE
o TELEMETRO PULSATI

QUESTO È SOLO IL RUMORE $\left<\hat{i}_n^2\right> = 2g \hat{i}_n B \rightarrow P_n \propto \sqrt{B \cdot GP_s}$

DOVVE AL SEGNALE.

IN PIAZZA SI HA: $\left<\hat{i}_n^2\right> = \left<\hat{i}_R^2\right> + \left<\hat{i}_{BG}^2\right> + \left<\hat{i}_{EL}^2\right> = 2g (\hat{i}_R + \hat{i}_{BG} + \hat{i}_{EL}) \cdot B$

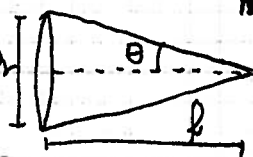
LA CORRISPONDENTE POTENZA DI RUMORE È: $P_N^2 = \frac{\left<\hat{i}_n^2\right>}{g^2} = \frac{2g^2}{7} (P_r + P_{BG} + P_{EL}) \cdot B$

~ È COME SE AMMAGGI UNA FLUTTUAZIONE SULLA POTENZA IN INGRESSO (CHE IN PIAZZA POTREBBE ESSERE CONTINUA)

QUESTA NON È CORRENTE IN
MURA DAL FONDO DIODO MA È RUMORE DELL'
ELETTRONICA RIPORTATO IN
INGRESSO.

PIGMENTATO LA POTENZA SUL RICEVITORE DONATA ALLA LUCE DI FONDO: NOTA L'IRRADIANZA SPECTRALE AMBIENTE E_{sc} [$\text{W}/\text{m}^2/\text{nm}$] E IL COEFFICIENTE DI DIFFUSIONE AMBIENTALE δ_{sc} , L'INTENSITÀ SUL RICEVITORE SARÀ:

$$I_{BG} = \frac{1}{\pi} (\delta_{sc} \cdot E_{sc} \Delta \lambda) \cdot \Omega_{sc} \text{ DOVE } \Omega_{sc} = \pi \cdot \theta^2 \cong \pi \cdot N_A^2 = \pi \cdot \sin^2\left(\frac{D_r}{2f}\right)$$



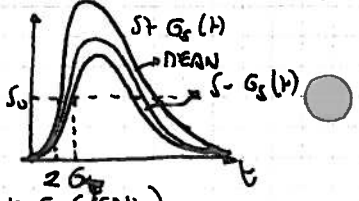
$$\text{NOTA L'AREA DI RICEZIONE } A = \frac{\pi D_r^2}{4} \text{ SI HA } P_{BG} = (\delta_{sc} \cdot E_{sc} \Delta \lambda \cdot N_A^2) \cdot \frac{\pi D_r^2}{4}$$

ACCURATEZZA: $L = c \cdot \frac{T}{2} \Rightarrow G_L = \frac{c}{2} \cdot G_T \quad , \quad G_T^2 = G_{shot}^2 + G_{spur}^2 \approx G_{spur}^2$

PICCOLO... SO QUANTO LUNGO L'IMPULSO

$$G_T^2 = \frac{G_s^2}{(\delta f / \delta t)^2} \propto \frac{N_f}{N_f^2 / T^2} \stackrel{N_f}{=} \frac{T}{N_f}$$

QUESTO SE C'È SOLO LO SHOT DEL SEGNALE (SNL)
SEMMO PESANO ANCHE GLI ALTRI DUE



CONI DEL DURATA...

NELLA PRECEDENTE TI È LA DURATA DEGLI IMPULSI E NON SI PUÒ AGGIUSTARE A PIACERE SENNO' BISOGNA A TUTTE LE BANDA PER VEDERLI.

NON È IL N° DI FOGLI RACCOLTI CHE PUÒ ESISTERE IN UN SINGOLO IMPULSO OPPURE UNA DOPO UNA DI PIÙ IMPULSI

- IN UN TELEMETRO A MODULAZIONE SINUOIDALE
 - ② $G_t \propto \frac{1}{2\pi f_m} \cdot \frac{1}{\sqrt{N_m}}$ ($\frac{1}{2\pi f_m}$ È EQUIVALENTE ALLA DURATA T DEGLI IMPULSI IN CONTINUA)
 - CON CONVENZIONE LAVORARE CON UNA ALTA DA SE ALTRIMENTE TRAPPOLI SI MANNO PROBLEMI DI AMBIGUITÀ!
 - OPPURE SE HO IMPULSI TROPPO RAMMUNATI

PER EVITARE AMBIGUITÀ NEI TELEMETRI A TEMPO DI VOLO DEVE ESISTERE:

NOTA: TO CANTO IL TEMPO DI VOLO, SE MI RITORNA UN IMPULSO, O UN DOK DELLA SINUOSITÀ DOVO SAPERE SE È QUELLO CHE HA LUNGHEZZA AL TEMPO t_1 O AL TEMPO t_2 ...

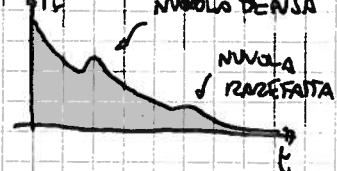
- ① LASER Q-SWITCHED $T = 10 \text{ ns} \Rightarrow f_{rep} = 100 \text{ MHz} \div 10 \text{ kHz} \Rightarrow L_{NA} = \frac{c}{2f_{rep}} = 1500 \text{ km} \div 15 \text{ km}$ DA PROBLEMI SONO A LUNGHEZZE DI DISTANZA O AD ALTE FREQUENZE DI REPETIZIONE

- ② LASER DIODE $f_m = 10 \text{ MHz} \div 10 \text{ kHz}$ (mentre la corrente che alimenta il diodo)

$$L_{NA} = \frac{c}{2} \cdot T_m = \frac{c}{2f_m} : 15 \text{ m} \div 15 \text{ Km} \quad \text{SI È ALLUNGATO A FREQUENZA AUTA (FACTO + MEDIE) MA VADO PIÙ LONTANO A GIORA FREQUENZA...}$$

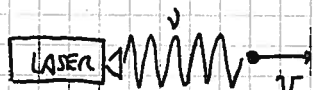
LIDAR (LIGHT IDENTIFICATION AND RANGING)

USO DIVERSE FREQUENZE IN UN IMPULSO CHE VIENE TRAMMESSO (O RICEVUTO) DAL NECESSARIO A DALLE CARATTERISTICHE DELL'IMPULSO DI RITORNO DEDUCO LE PROPRIETÀ DEL NECESSARIO



VELOCIMETRI

- EFFETTO DOPPLER SU FOGLI LASER:

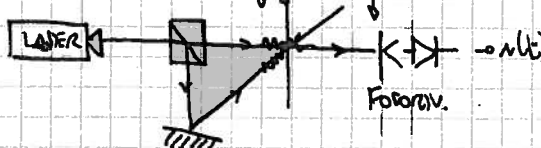


l'OGGETTO PERCEPIRE LA FREQUENZA $v' = (1 - \frac{v}{c})v$

o A VELOCITÀ NON RELATIVISTICA ($v \ll c$) LO SPOSTAMENTO DOPPLER RELATIVO È PIÙ PICCOLO:

$$\frac{\Delta v}{v} = \frac{v - v'}{v} = \frac{v}{c} \sim 10^{-3}$$

(SVENTO $\Delta v \sim 10 \text{ Hz}$) PER MISURARE QUESTO SPAGLIENTO CON SUFFICIENTE ACCURATEZZA CONVIENE MISURARE IL CONTINENTO CON UN FONDO LASER DI RIFERIMENTO (METRO ETHERNETA, ANAL. DI SPECTRO MA PIÙ TROPPO BONDI)



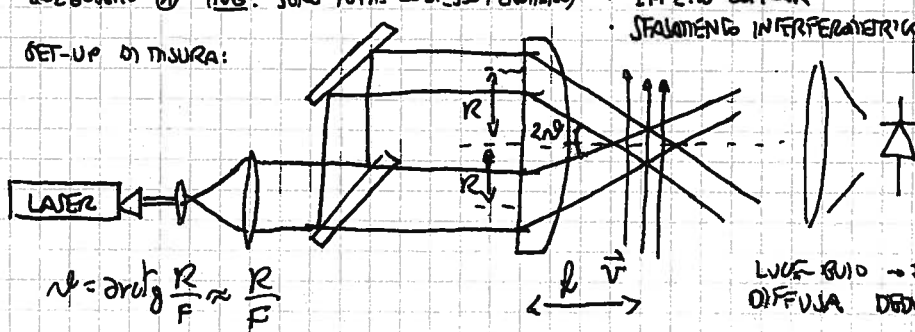
LDV (LASER DOPPLER VELOCIMETRY) SI IMPIEGA PER MISURARE VELOCITÀ DI FLUIDI CONTENENTI PARTICELLE DIFFONDENTI (DEV'ESSERE SCATTERING)

- SCATTERING DI RAYLEIGH ($r \ll \lambda$) $F(\theta) \propto 1/\theta^4$
SCATTERING DI MIE ($r \gg \lambda$) $F(\theta) \propto \max \text{ PER } \theta=0$ (FORWARD SCATTERING)

- IL SEGNALE DI MISURA È INTERPRETATO COME: ① ATTACCHIAMENTO DI FRANGE DI INTERFERENZA ESEGUITO ② (NB: SONO TUTTE LO STESSO PENSAMENTO)

- EFFETTO DOPPLER
- SPALMAMENTO INTERFEROMETRICO

- SET-UP DI MISURA:



I DUE FOGLI COLLEGATI FORMANO UNA ZONA DI INTERFERENZA CON FRANGE PARALLELE ALL'ASSE OTICO
→ IL FLUIDO DI PARTICELLE PASSA IN UNA ZONA DI AVERGIANZA LUCA RUJO → DALLA FREQ. DEI PICCOLI DI WAVE DIFFUSA DEDUCO LA VELOCITÀ DEL FLUIDO

NELLA ZONA DI INTERFERENZA LE FRANGE SONO FERME
CALCOLARE LA DISTANZA TRA DUE FRANGE SCURE:

OA È LA DISTANZA CERCA E DEVE ESSERE $\Delta\phi_{OA} = 2\pi$
(O E A SONO AL CENTRO DI DUE FRANGE SCURE)

Calcoliamo lo sfasamento da O ad A per l'onda 1 e per l'onda 2:

$$\textcircled{1} \quad \Delta\phi_{OA_1} = \Delta\phi_{OB_1} + \Delta\phi_{BA} = 0 + (k_1 \sin \theta) = \frac{2\pi}{\lambda} D \sin \theta$$

$$\textcircled{2} \quad \Delta\phi_{OA_2} = \Delta\phi_{OB_2} + \Delta\phi_{BA} = 0 + k_2 \sin \theta = \frac{2\pi}{\lambda} D \sin \theta$$

$$T_D = \frac{D}{V}$$

IL TIEMPO DI RIPETIZIONE DEI PICCHI
È INVERZIONTE PROPORZIONALE ALLA VELOCITÀ

NB: IL PROFILLO DI LUCE È NOTATO DA UNA GAUSSIANA
(CHE È IL PROFILLO DEL FAUCO LUCE LE DIREZIONI k_1, k_2)

Con l'elettronica va a rilievo $F_D = \frac{1}{T_D} = \frac{V}{D} = \frac{2\pi n_a}{\lambda} V$ che è la FREQUENZA DELLA LUCE DIFFUSA

QUESTA MISURA LO FAUCO PER:

- COUNTER
- ANALIZZATORE DI SPECTRO
- CORRELATION

NB: CON MISURA UNA SOLO DIREZIONE SPAZIALE. PER MISURE 3D HO bisogno DI 3 DOPPI FAUCI SU PIANI ORTOPEDICI FREQ LORO

$$\text{es: } \lambda = 532 \text{ nm} \\ n_1 = 3^\circ \rightarrow S_1 = 200 \text{ kHz/m/s} \\ n_2 = 20^\circ \rightarrow S_2 = 1.3 \text{ MHz/m/s}$$

SE MISUO $V = 500 \text{ m/s}$ OTTENGO

$$F_{D,1} = 100 \text{ MHz} \\ F_{D,2} = 650 \text{ MHz}$$

PER LEGGERE QUESTO U

VUOLE UN'ELETTRONICA

VELOZ

LA MISURA È TUTTO SENZIBILE A BASSA VELOCITÀ, AD ALTA VELOCITÀ SI FA ANCHE FATTICA A MISURARE LE FREQUENZE GENERATE

L'INCERTAZZA RELATIVA È DATA DAI: $\frac{\Delta f(s)}{f} = \sqrt{\frac{n^2(r)}{\lambda^2} + \frac{n^2(f)}{\lambda^2}}$

QUESTA È BASSA PERCHÉ $n(r) \approx 10^{-4}$.
(CONSIDERARE L'ELIMINAZIONE LASER SINGOLARE)

INVECE $n \approx \frac{r}{f}$ CON $n(r) \sim 10^{-3}$ E $n(f) \sim 10^{-4} \Rightarrow n(ne) \sim 10^{-3}$ LIMITANTE!

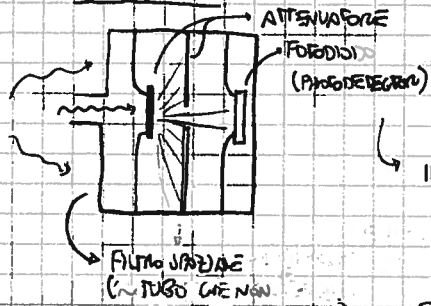
• PIV (PARTICLE IMAGE VELOCIMETRY): ILLUMINA IL FLUIDO (CON PARTICELLE FLUORESCENTI) CON FLASCI ULTRARAPIDI DI UN FAUCO PIANO

(NOTA: NECESSARIA LUCE COERENTE DA UN LASER $\sim h_0$)

GUODO QUANTO SI SPOSTANO LE PARTICELLE DOV'È FLUIDO ALL'AUTO: $V = \frac{\Delta h_n}{\Delta t} \rightarrow \frac{1}{\Delta t} = \text{FRAME RATE}$

STRUMENTAZIONE PER MISURE OTTICHE

POWER METER



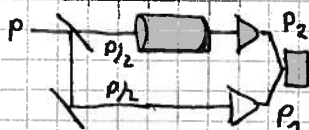
LE SUPERFICI INTERNE SONO NERE E IL TUBO È CHIUSO, NO LUCE AMBIENTE
L'ATTENZIONE È FORMATA DA UN DIFFUSORE LANTERNAIO + UNA APERTURA
(FILTORE LANTERNAIO). L'INTERNO CHIUSO È ADESSO X FAVORIRE LO SCALONE TERMICO
(UNA PARTE DELLA ROTAZIONE VENE ALLEGATA QUA E SI SCALA NELLO)

$$1. \text{ SENSORE PUÒ ESISTERE:} \quad ① \text{ TERMICO: } P_{\text{termico}} = \eta_{\text{term}} P_{\text{opp}} = K \cdot \Delta T = K(T - T_{\text{amb}})$$

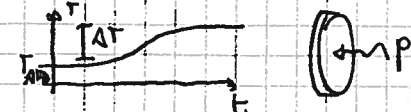
2. A SEMICONDUTTORE

① RISPONSIVITÀ INDEPENDENTE DALLA LUNGHEZZA D'ONDA! (TUTTI LI RISPOSTANO
SCALANDO...)

C PER MISURARE POTENZA PUOSE CAMBI DI VERSO DI VETRURA:



⇒ POWER METER A DUE CANALI
IL RIVELATORE È UNA SERIE DI PERIODOPPIE DISPOSTE IN DIREZIONE RADIALE CHE
TRASFORMANO IN TENSIONE IL GRADIMENTE DI TEMPERATURA TRA IL CENTRO E IL CUSCO DEL DISCO



② Ge, Si, InGaAs - BISOGNA SIEGLIERE A TUTTO UNO A SECONDA DELLA TUTTA MISURARE (IL TIPO DI RISPOSTA
DEBBE ESSERE MOLO A PIACERE)

ELEVATO POWER RANGE (~11 ORDINI DI GRANDEZZA).

BANDA MOLTO ESTRAVA ALLA CONTINUA → DEGRADAZIONE VENTI

RIVELATORI CCD: MATRICE DI PIXEL, RICOSTRUISSONO FORZA DI DIMENSIONE DELLA RADIATIVA INCIDENTE

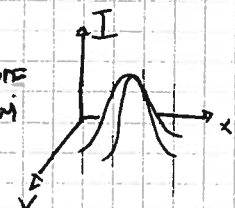
G. IN SINTESI IL PROPRIO SPAZIO DEL FOGLIO SI POSSONO FARLE DIVERSE DENTROMI
SULLE DUE CORNATEZZE:

$$\text{- DIVERGENZA: } \theta = \frac{\lambda w}{\Delta z} \quad (\text{IN CASO CONTINUO}) \rightarrow M = \frac{\theta}{\theta_{BL}} = \frac{\lambda}{\lambda w_0} \xrightarrow{\lambda \ll \lambda w_0} \text{DIFFRAZIONE} \rightarrow 1$$

$$\text{- DIMENSIONE DI ACCIAIO } w = w_0 \sqrt{1 + \left(\frac{\lambda z}{\lambda w_0}\right)^2}$$

↳ ASSEGNAZIONE: $w_{px} \neq w_{py}$

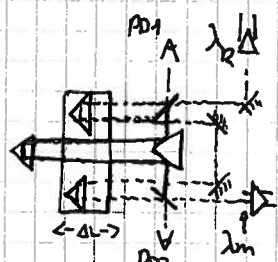
$$\alpha_x \neq \alpha_y$$



WAVE METER DA LABORATORIO: LA RADIATORE DI CUI SI VOLLE MISURARE LA LUNGHEZZA D'ONDA

VIENE FATTA MAGGIARÈ NEL MODO SULLO STESSO CONTINNO OTTICO
DI UNA RADIATORE DI RIFERIMENTO, LO UNI λ_R È NOTA CON ELEVATA PRECISONE.

LE DUE RADIATORI SONO FATTE POI INTERFERIRE CON SE STESE E SI CONTANO LE FRANGE
D'INTERFERENZA AL VARIABILE DEL CONTINNO OTTICO (λ)



SU PD2 SI FORTRANO LE FRANGE DEL RIFERIMENTO $4\Delta L \approx N_r \cdot \lambda_R$ (SACCHETTO $N_r + E$, S ARROGANO)

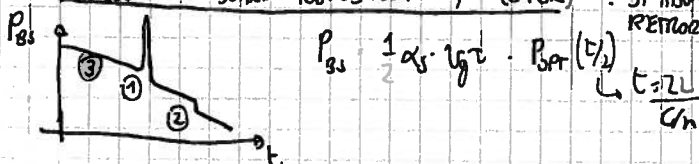
SU PD1 SI FORTRANO LE FRANGE DEL FAUCO DI VETRURA $\Delta L = N_x \cdot \lambda_m$

$$G. \quad \lambda_m \approx N_x \lambda_R \quad \text{CON INCERTEZZA} \quad \frac{\Delta \lambda_m}{\lambda_m} = \frac{\Delta N_x}{N_x} \approx 10^{-10} \quad \text{CON RIFERIMENTO RIBASSO ACCIARO (He-Ne
SERVIZIARIO SU 1000 DI I₂)}$$

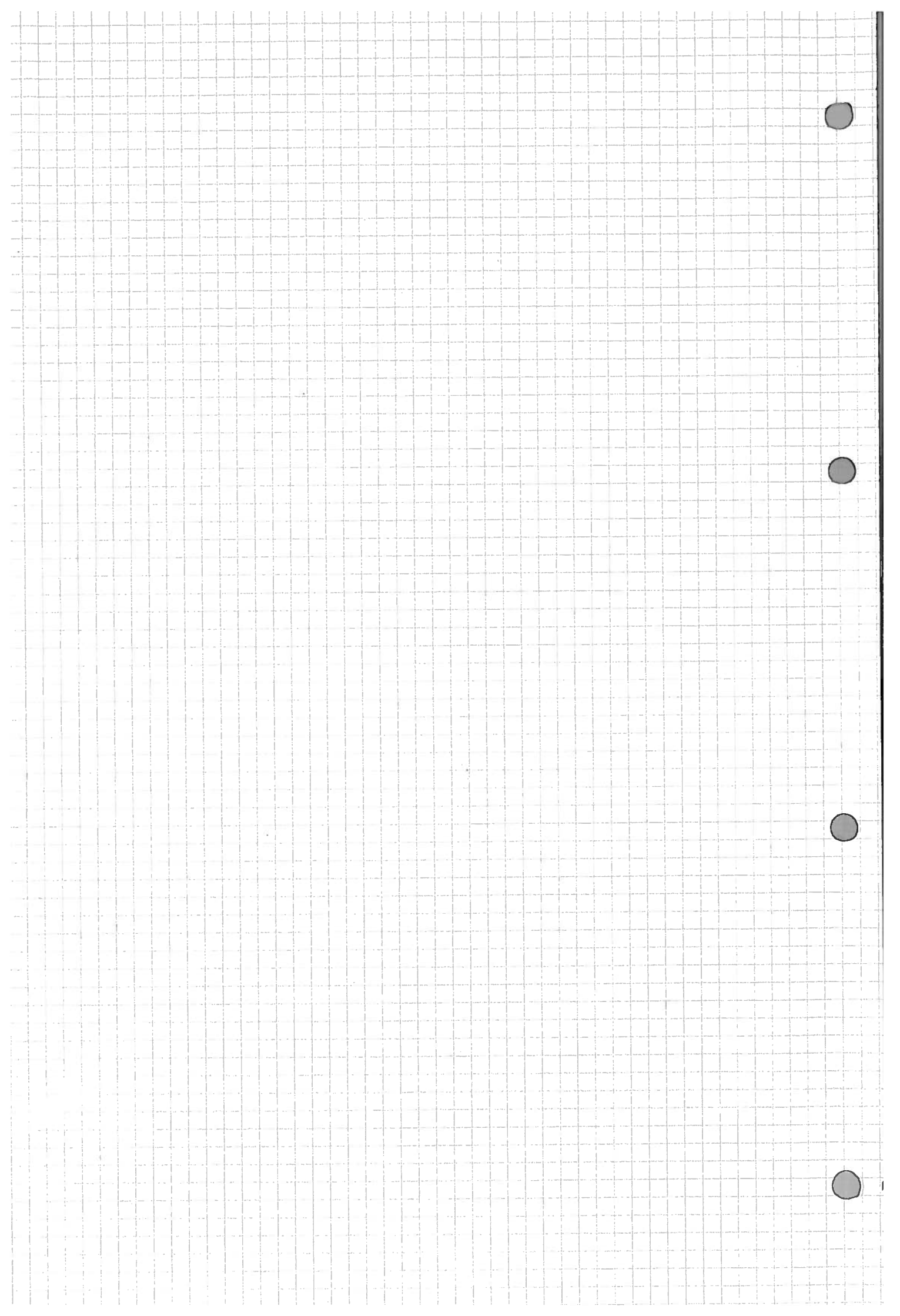
OSA (OPTICAL SPECTRUM ANALYZER): - CON ROTAZIONE ROTANTE (PRIMA / GRATING DI DIFFRAZIONE)
= CON GRATING FISSO E ARROGHI CCD



OPTICAL TIME DOMAIN REFLECTIONOMETRY (OTDR): SI MISURANO LE PERDITE IN FIBRA PRANTE LA RADIATORE OTTICA
RETROREFLESSA. FAUCO DI VETRURA: 825M MOLTO LUNGA ($T = 10 \text{ ns}$)



- ① GIUNCO: REFLESSIONE + PERDITA
- ② SPLICE: SOLO PERDITA
- ③ DOLLA PENDIMENTA SI DEDE IL VALORE DEL COEFFICIENTE DI ATTENZIONE



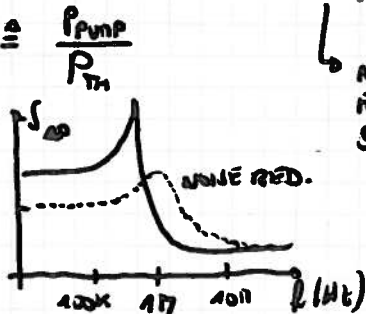
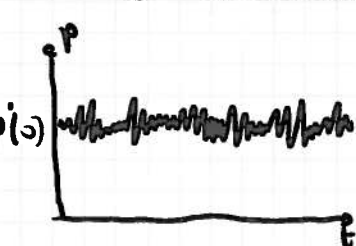
STABILIZZAZIONE & METROLOGIA

lunedì 13 gennaio 2014

CARICO ELETTRICO CON FLUTTUAZIONI DI AMPISSIMA:

- OSCILLAZIONI DI PIANALMENTO DEL SISTEMA LASER A CAUSA DI FLUTTUAZIONI DEL GUARDATO O DEL TASSO DI RISPIEGO!

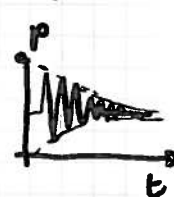
qui x è il sovraccarico: $x = \frac{P_{\text{PUMP}}}{P_{\text{TH}}}$



$$E(t) = E_0 (1 + \alpha x(t)) e^{-j2\pi f_0 t}, \quad \alpha(x) \ll 1$$

$$f_{\text{RIN}} = \sqrt{\frac{x-1}{T_0 T_{\text{SP}}}}$$

$$\text{oscillazioni che si mostrano in: } T_{\text{RIN}} = \frac{2 T_{\text{SP}}}{x}$$



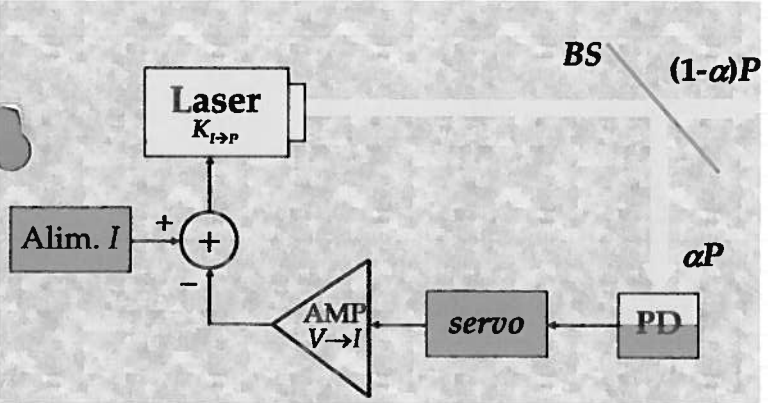
NEL LASER A DODA T_0 È PIENO (TERZO DIVISORE ROTONDO) E QUINDI LE OGG. DI PIANALMENTO SONO A + ALTA FREQUENZA ($\sim 100 \text{ MHz}$)

RELATIVE INTENSITY NOISE: (RIN)

$$RIN(f) = \frac{S_{AP}}{\langle P \rangle^2} [\text{dB}/\text{Hz}]$$

SOPPRESSIONE DEL RIN CON ANELLO DI REAZIONE: $E/A_f [v/\lambda]$

$$G_{\text{loop}} = K_{\text{loop}} \cdot \alpha \cdot f_{\text{po}} \cdot G \cdot G_s \cdot G_{\text{mod}}$$



STABILITÀ IN FREQUENZA: $E(t) = E_0 e^{-j(2\pi f_0 t - \phi(t))}, \quad \frac{d\phi}{dt} \ll \nu_0$

LA FREQUENZA ISTANTANEA È: $\nu_{\text{inst}}(t) = \frac{1}{2\pi} \frac{d\phi}{dt}, \quad \nu_0 - \frac{1}{2\pi} \frac{d\phi}{dt} = \nu_0 + \Delta\nu(t)$

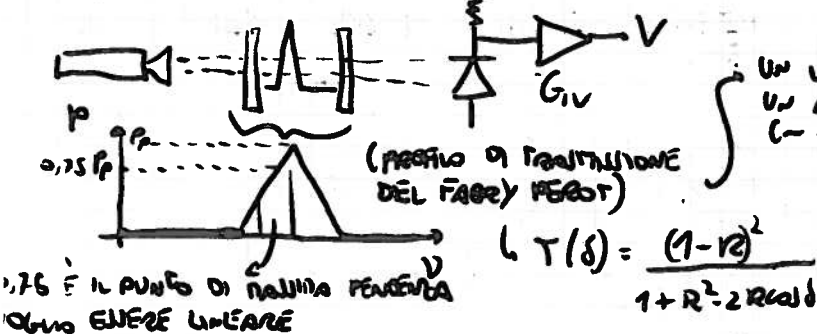
$\Delta\nu = n \frac{c}{2L^2} (-\Delta L) \rightarrow \frac{\Delta\nu}{\nu} = -\frac{\Delta L}{L} \rightarrow \Delta L = 1 \text{ Å} \Rightarrow \Delta\nu = 90 \text{ MHz} \leq$ CONTA ALLA LUNGHEZZA D'OGNI LUCE ANCHE ALLA DILATAZIONE TERMICA

POTENZE SENSITIVE: - laser monolitico (specchi depositati su materiale attivo)

- non-monolitico oscillatori (NPRO, ND: XAG) AD ANELLO PER EVITARE FLUTTUAZIONI DI + NUOVI LONTANANZI (SPRING MOLE GUARANTE)

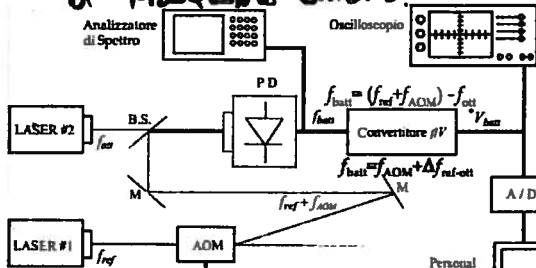
(NB: SE SI USANO CON TUTTO (TM-XAG, 3 LIVELLI) SI DEDICA SOLO LA PARTE POMPATA, ALTRIMENTI DOVE NON POSSO ATTENDO LA LUCE LASER GENERATA (? LIVELLI!))

CARATTERIZZ. RUMORE DI FREQUENZA: DISCERNIMENTO DI FABRY-PEROT (NON BASTA UN RISOLVOLTO)



UN LAVOLO SIMILE LO FA UN ALZATORE SELETTIVO: (- STABIL CON UNA)

b): OTTENERE FLUTTUAZIONI DI FREQUENZA ELETTRICO PROPORTIONALI A FLUTTUAZIONI DI FREQUENZA OTTIME.



2) MIXING (BATTIMENTO) DI SEGNALI OTTONI: $f_{\text{REF}} \approx f_{\text{REF2}}$
con $f_{\text{REF}} = f_{\text{REF1}} + \Delta f_{\text{REF-off}}$
NB: LE VARIANZE DI f_{REF} È f_{REF2} . SI SOMMANO.

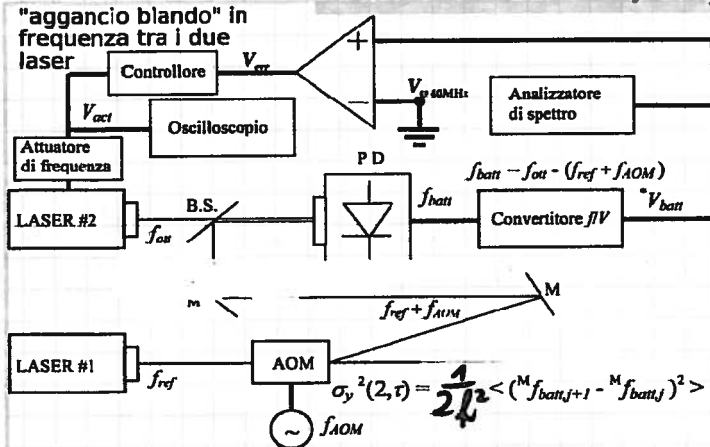
STABILIZZAZIONE & METROLOGIA

lunedì 13 gennaio 2014

- Variabilità di Allan: misura della fluttuazione della frequenza media di un oscillatore

$$\sigma_{\text{allan}}^2: \sigma_y^2(2, \tau) = \frac{\langle (\tilde{f}_{\text{batt}, j+1} - \tilde{f}_{\text{batt}, j})^2 \rangle}{2f^2}$$

a misura la frequenza di battimento
di prima...



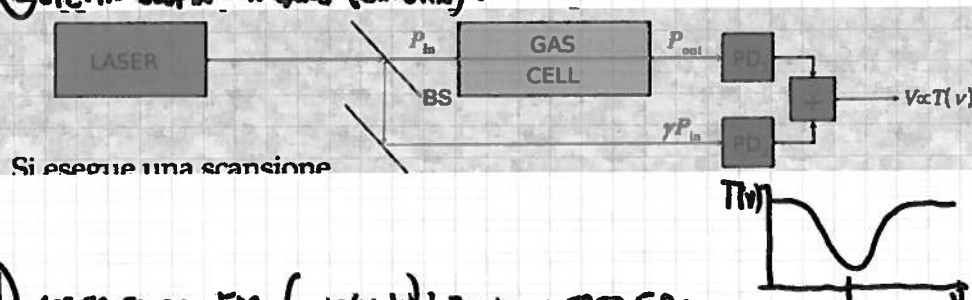
NP: come prima il modulatore acustico ottico (AOM) serve a spostare la frequenza
il battimento tra le due frequenze
laser

- Spettoscopia: righe di allargamento. Non c'è un'unica frequenza da una riga di larghezza finita

Cose cause di allargamento:

- **Riga omogenea (isotropia):** collisioni, corpi di forza esterni (~effetto Stark)
- **Riga inhomogenea (anomalo):** effetto Doppler $\rightarrow \Delta f = f_0 \sqrt{\frac{kT}{mc^2}}$ $\Delta f = f_0 \cdot \frac{v}{c}$

1) Spettoscopia lineare (diretta):

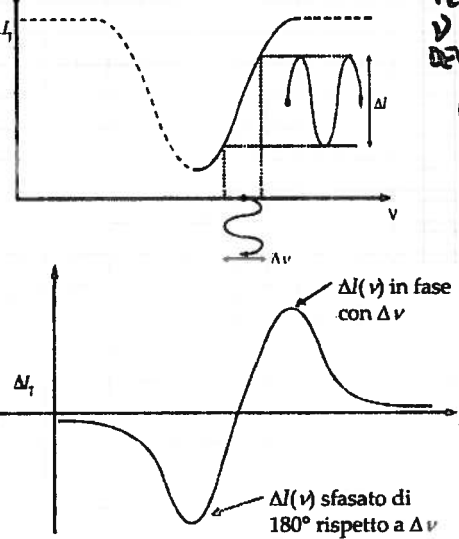


questo setup è insensibile
a variazioni di potenza del laser
(si fa il rapporto...)

$$V \propto \frac{P_{out}}{P_{in}} = \frac{1}{\gamma} T(v)$$

trasmissione del gas analizzato

2) Spettoscopia FM (~lock-in): riduce in frequenza il laser e valendo il tempo lo determina prima del profilo di transizione.

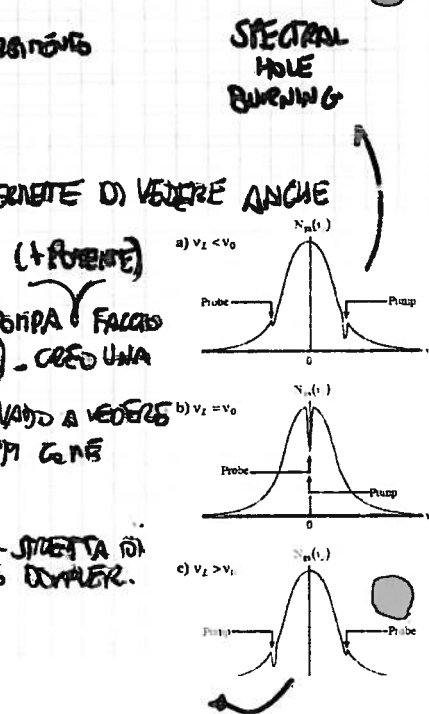


rispetto alla precedente questa tecnica permette di vedere anche righe poco detallate (< 1%).

1) Spettoscopia SATURA: con un fascio di pump fatto RIGA NERA (so che ha velocità nulla) - creò una riga molto stretta di allargamento con un ulteriore fascio (upulse) visto a vedere il profilo di transizione (anche in ppm come descritto in precedenza)

⇒ la riga che si ottiene è molto più stretta di quella originaria dovuta all'effetto Doppler.

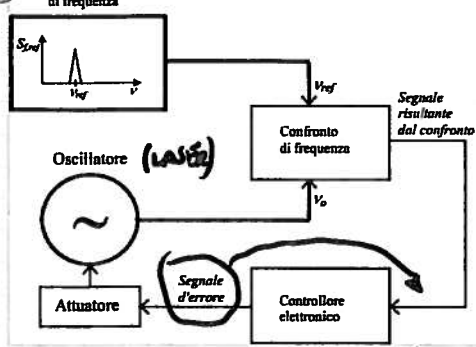
Questa simmetria permette facilmente di controllare l'espansione



STABILIZZAZIONE & METROLOGIA

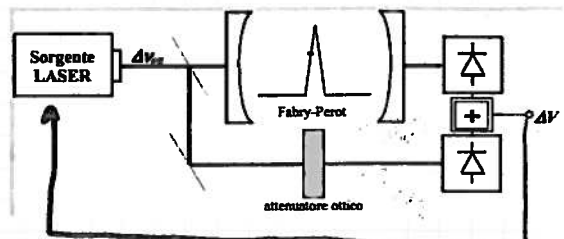
mercoledì 15 gennaio 2014

Stabilizzazione in Frequenza: Come la stabilizzazione di un oscillatore? Come eseguire il confronto in frequenza?



① FRINGE SIDE LOCKING

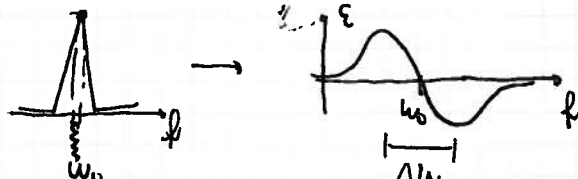
$$\Delta V = \frac{\Delta v}{F_{\text{AV}}^{\text{corr}}} = \Delta v \cdot (1 + \beta_{\text{corr}})$$



Quando ΔV o Δf rispetto alla linea di riferimento del FP.

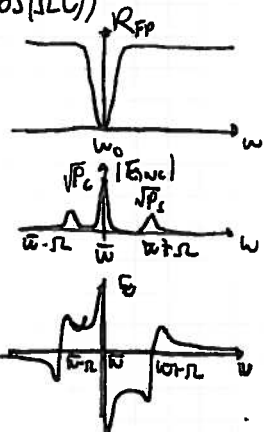
② PEAK LOCKING: INVECE DI AGGIORNARE A UNO DI CORDI DEL CICLO DEL FABRY-PEROT

Anche qui no un profilo di derivata prima ma si dice da cui parte del picco sono (e di quanto sono lontano rispetto a w_0) + preciso del precedente da dove proviene la luce laser (anima a freq. bassa)

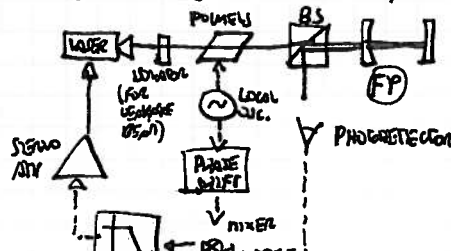


③ ROUND-TRIP-VELOCITY METHOD: come il precedente ma ridotto a frequenze ~~differenti~~ differenti della larghezza dello spazio di rappresento

Modulo in fase (prezzi, $A(w), \omega_0, \omega_c, P_{PP}, \dots$) $\Rightarrow E = E_0 e^{i(\bar{w}t + m \cos(\bar{w}t))}$
Se si è in presenza di Δw si creano delle bande laterali nel diagramma di campo entro in conv. ad alta frequenza queste bande non sono in risonanza e vediamo quindi riflettività del Fabry-Perot unitaria



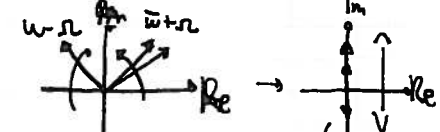
Dando il segnale riflesso in un photodetector detto (local oscillator + mixer) e ottenendo il segnale d'uscita da questo dispositivo che va a modificare la freq. del laser (\sim lunghezza d'onda)



Più in dettaglio (da neanche molto...): (riflesso da FP)

In realtà da cosa ricevuto dal PD/F $P_{PP} \propto F(\bar{w}) F(\bar{w} + \omega) - F(\bar{w}) F(\bar{w} - \omega)$

Prima (1), basso filtre, in modulazione risultava $\ln(P_{PP}) \approx 0$ (= solo reale)



Ora ponendo $F(\bar{w} + \omega) \approx -1$ si ha $\operatorname{Re}(P_{PP}) \approx 0$

$$P_{PP} \approx |\tilde{E}_{\text{risposta}} + E_{\bar{w} \pm \omega}|^2 = P_0 \left(\frac{\Delta w}{\Delta \omega} \right)^2 + 2P_s - 4\sqrt{P_0 P_s} \frac{\Delta w}{\Delta \omega} \sin \omega t - 2P_s \cos 2\omega t$$

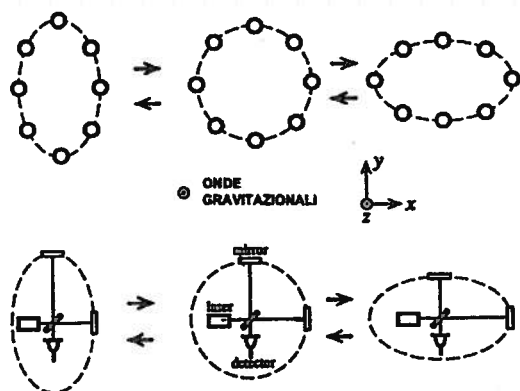
Il piano ruota @ \bar{w} . È un fatto di appartenere variabile a frequenza 2ω (X)

Questo è il battimento tra risposta e bande laterali. Si è aperto come a dire il segnale dello strumento risulta ora risonante ($\Delta w = w_0 - \bar{w}$)



Onde gravitazionali

mercoledì 22 gennaio 2014



L'INTERAZIONE GRAVITAZIONALE È LA + DEBOLE DELLE 4 INTERAZIONI FONDAMENTALI

↳ LA DEFORMAZIONE RELATIVA DI UNA DIMENSIONE SISTEMAS GENERA DALL'ESPLORAZIONE DI UNA SUPERNOVA (!) È:

$$h = \frac{R_x - R_y}{R} \approx 10^{-21}$$

N.B.: LE IPOTETICHE Onde gravitazionali modifichino lo spazio-tempo (allora, ad es. attraverso la luce, cioè interagiscono con i fotoni)

N.B.2: IL PRINCIPIO È MINIMIZZARE LA DEFORMAZIONE CON UN INTERFEROMETRO DI MICHELSON.

↳ PER AVERE STABILMENTE RILEVABILI FALCIAZI PERMANENTI ALLA LUCE I BRACCI PIÙ VOLTI \Rightarrow 3 BRACCI A CAVITÀ FABRY-PEROT:

- SI LAVORA SUI MINIMI DELLA TRANSMISSIONE DEL FABRY-PEROT (cioè i picchi di riflessione) proprio per riferirsi più volte i bracci
- IN CONDIZIONI DI EQUILIBRIO SU FORCIAZIO NON c'È LUCE (SEGNALIS 0) \Rightarrow È + FACILE VERIFICARE PICCOLI DEFORMAZIONI

